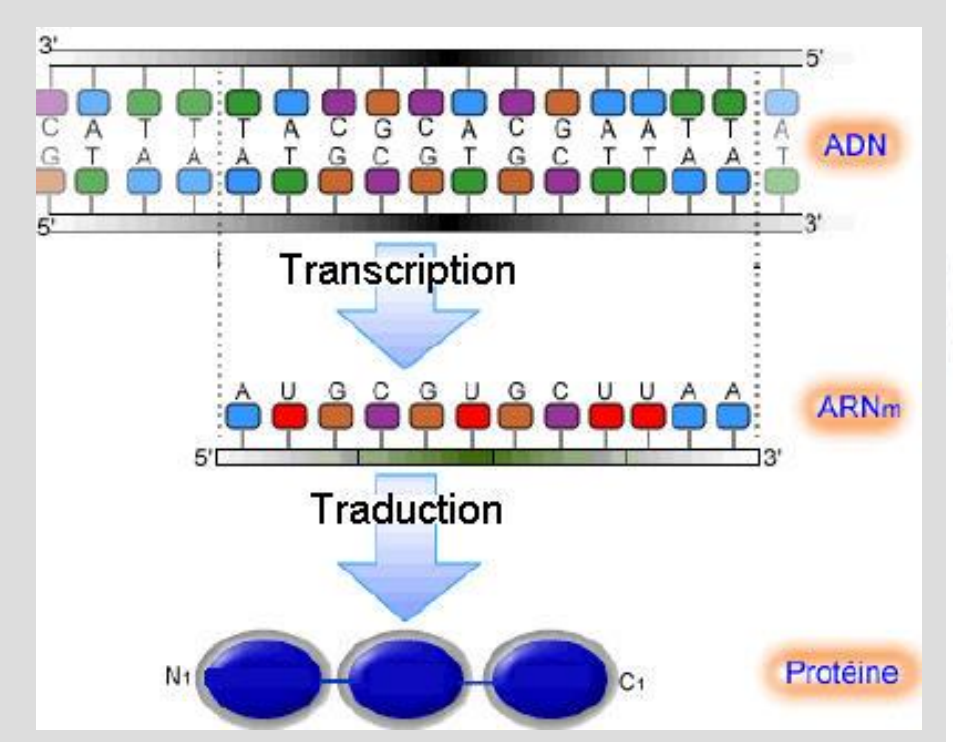
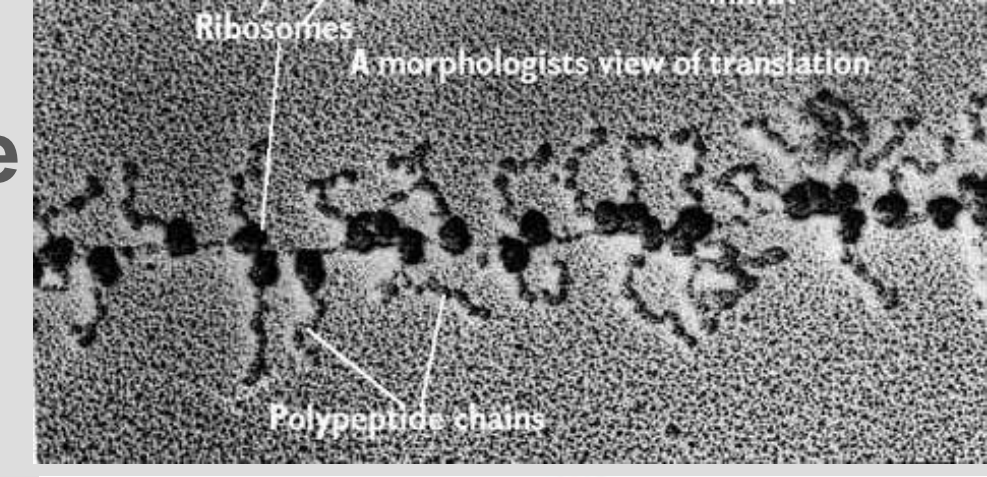
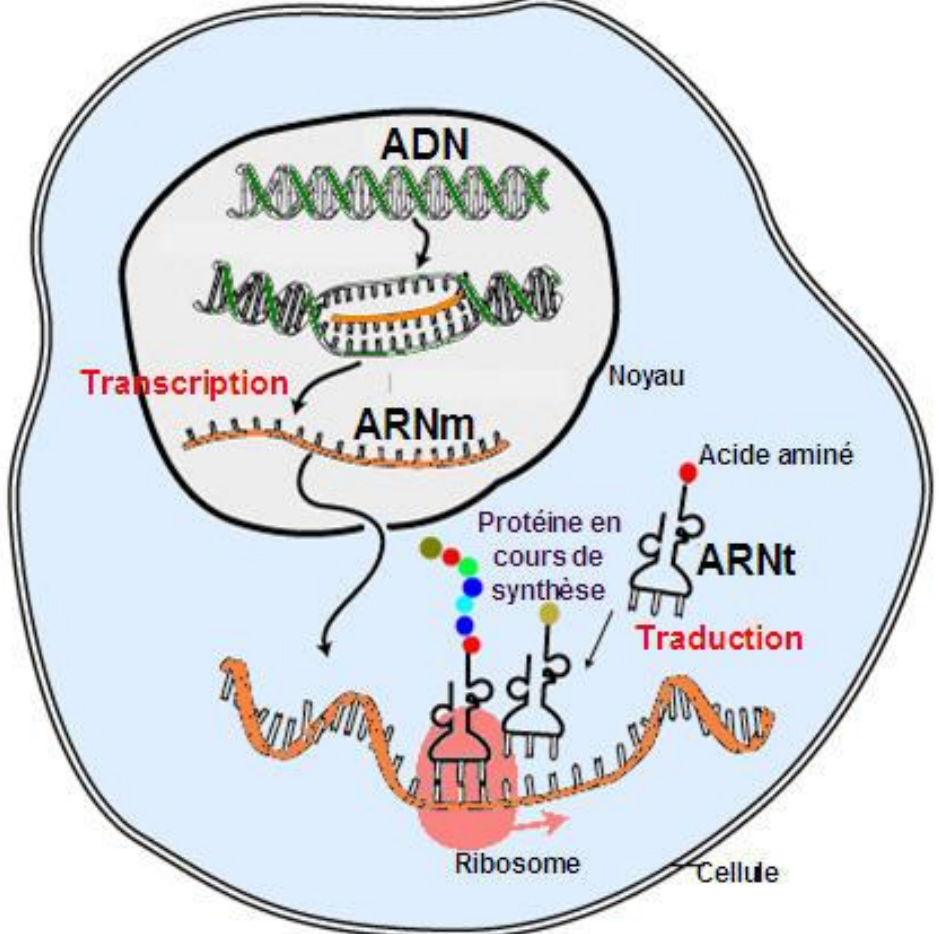
<u>SV - F</u>:

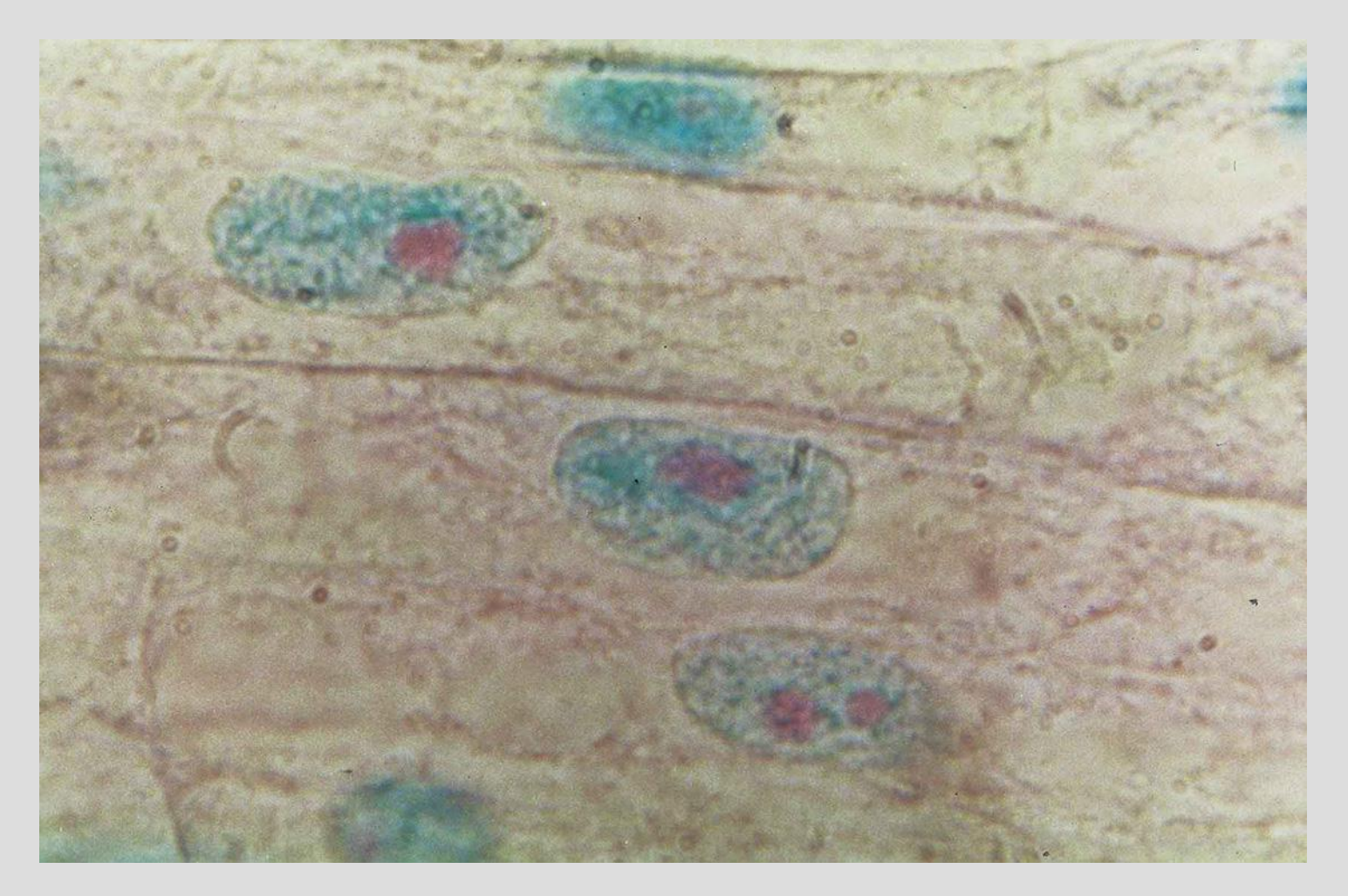
Génomique structurale et fonctionnelle

<u>SV – F – 2 et 3</u>: L'expression du génome et son contrôle









Test de Brachet
sur des cellules de racine d'Oignon (M.O.)
Le vert de méthyle colore en vert l'ADN,
la pyronine colore en rouge l'ARN.

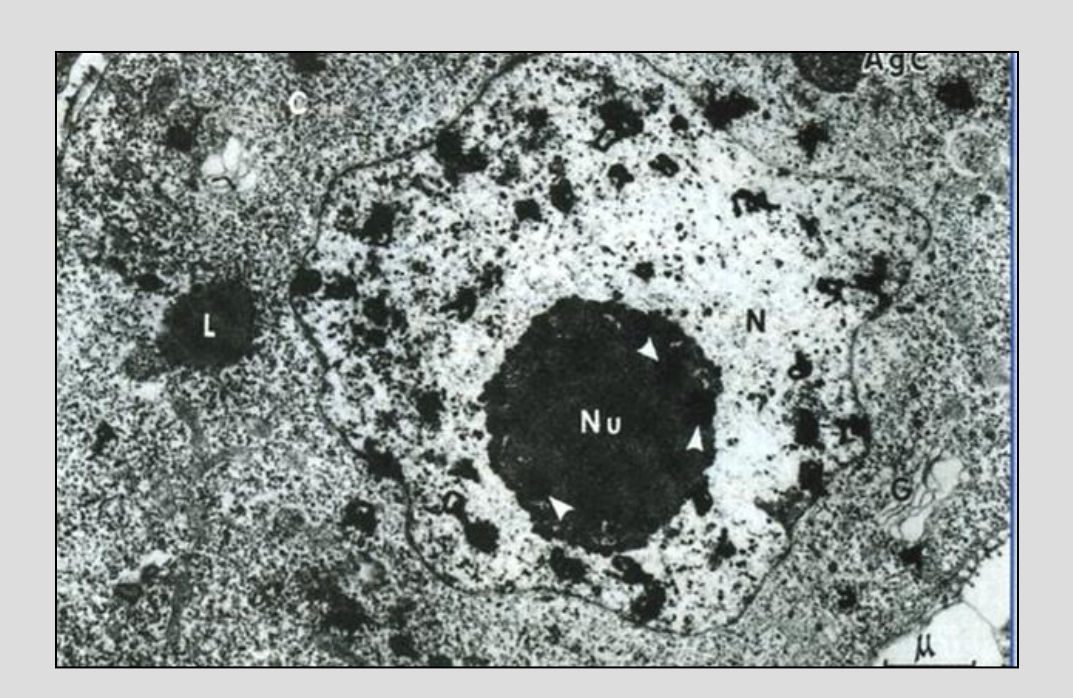
Mise en évidence de la synthèse et du devenir de l'ARN.

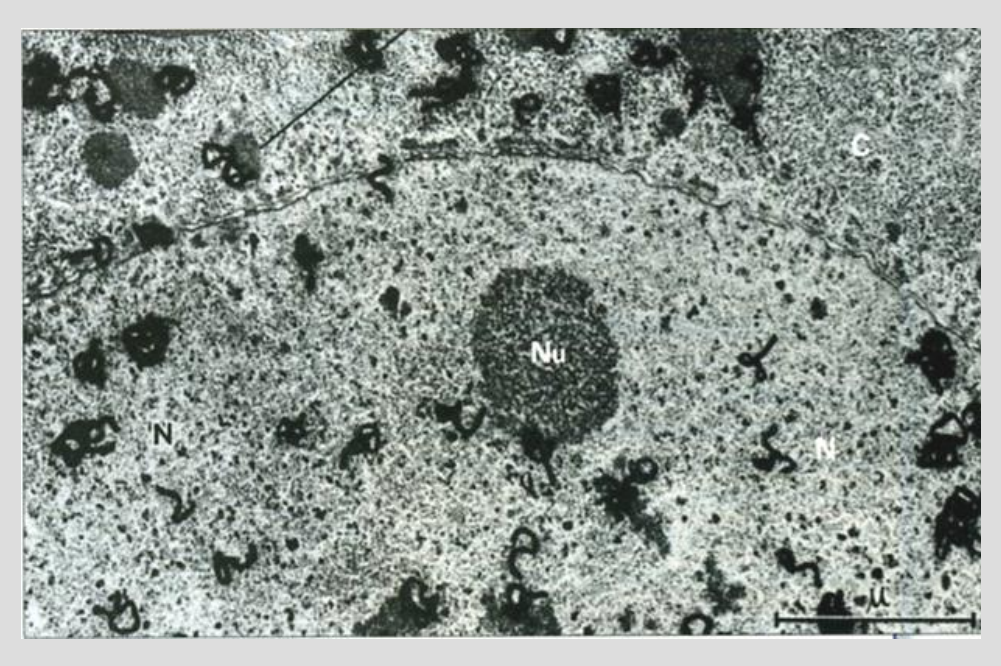
Les cellules sont mises en culture pendant quelques minutes sur un milieu contenant de l'uridine tritiée, nucléotide spécifique des ARN.

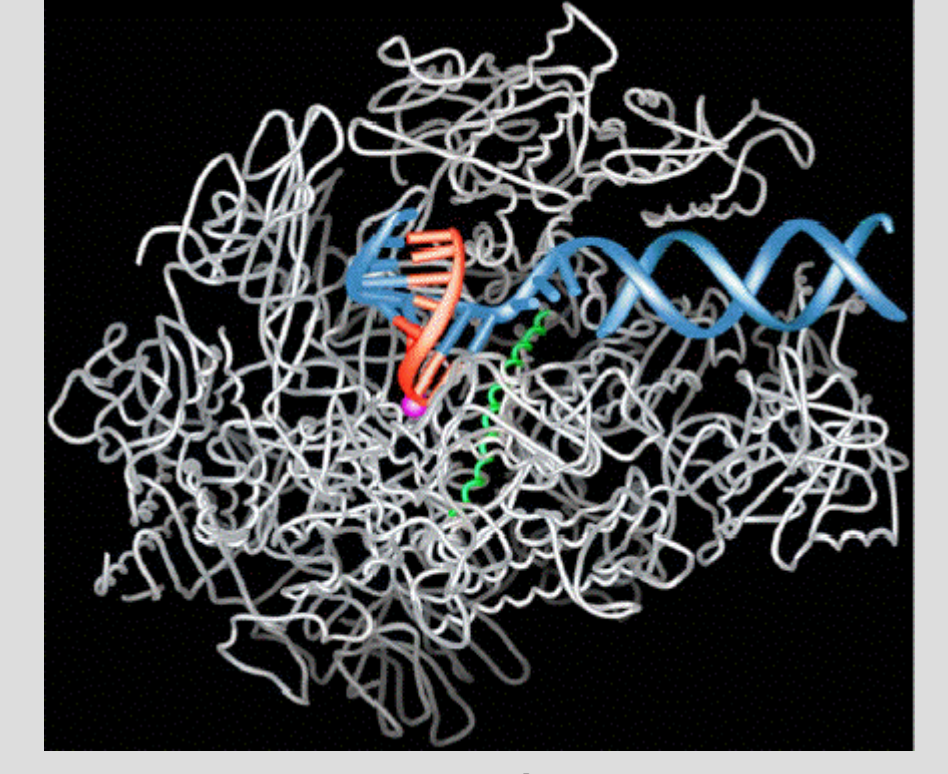
En haut : autoradiographie réalisée après 12 h de chasse (MET x 13 000).

En bas : autoradiographie réalisée après trois jours de chasse (MET x 28 000).

(" SVT 1°S " programme 2001, Nathan Ed.)







en blanc : ARN-polymérase en bleu : double hélice d'ADN

en rouge : ARN en cours de formation

en vert : structure qui fait avancer le brin

d'ADN dans l'enzyme



L'ARN polymérase II

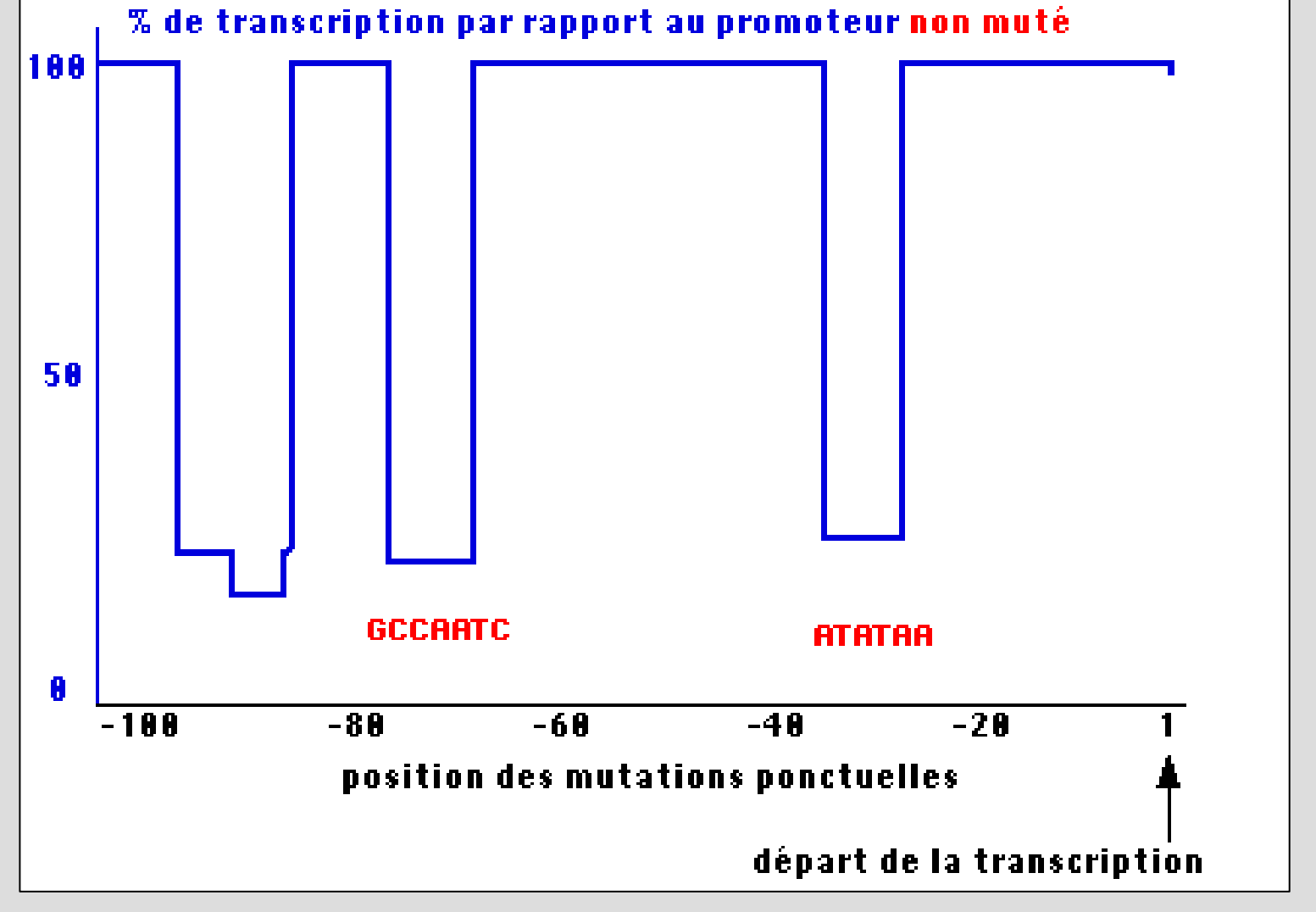
constituée de 12 sous-unités

Source des figures : R. D. Kornberg

Nobel Lecture 2006 & Cell Death and Differentiation 14

L'ARN polymérase de type II

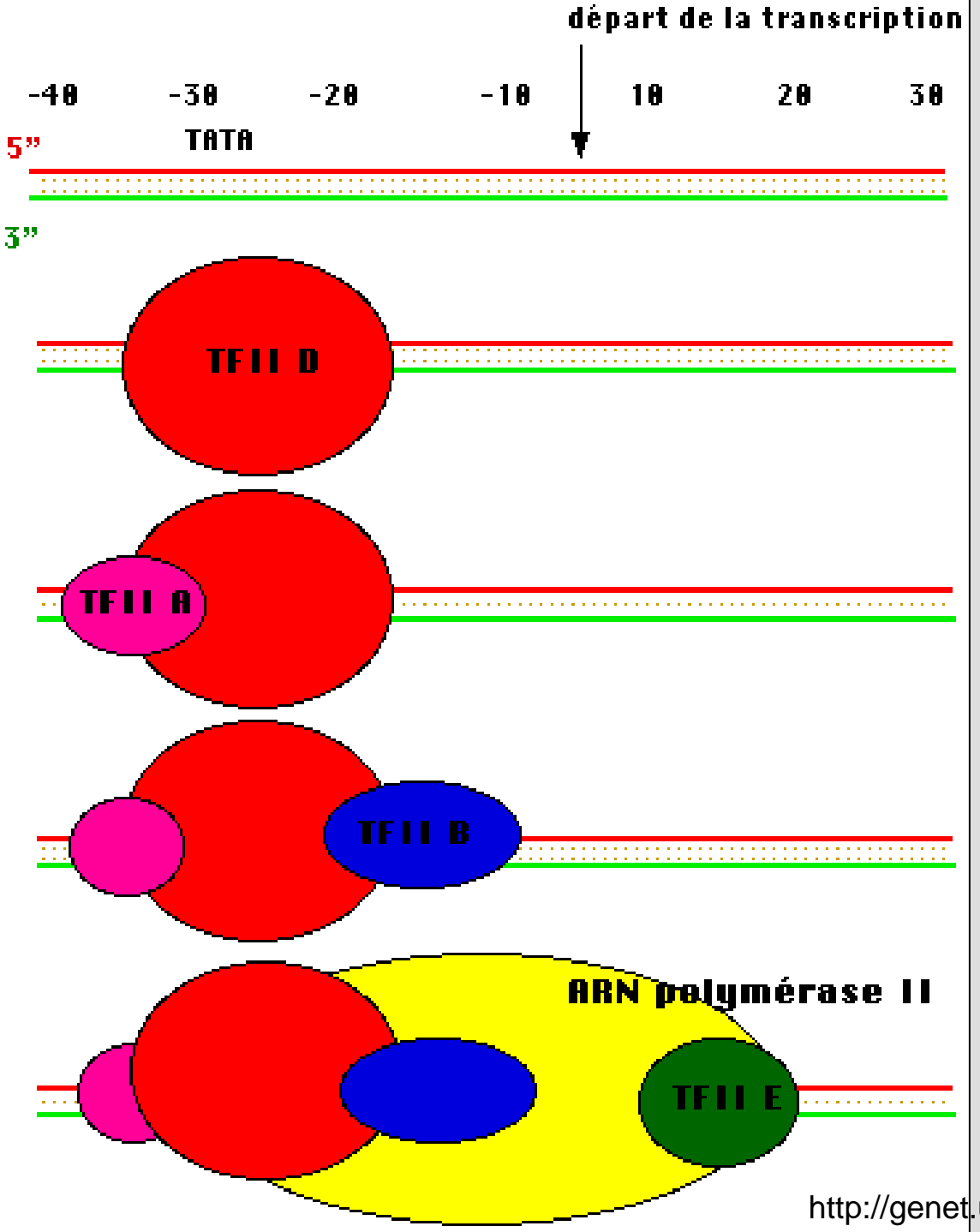
réalise la synthèse de tous les ARN messagers nucléaires qui seront traduits en protéines Elle nécessite plusieurs facteurs de transcription (TFII).



<u>Document 1.</u> Identification du rôle de certaines séquences du site promoteur.

L'effet de mutations ponctuelles introduites à presque chaque position sur les 100 pb en amont du site de début de transcription est étudié pour le gène de la globine. Pour certaines localisations, les mutations affectent de façon très importante la

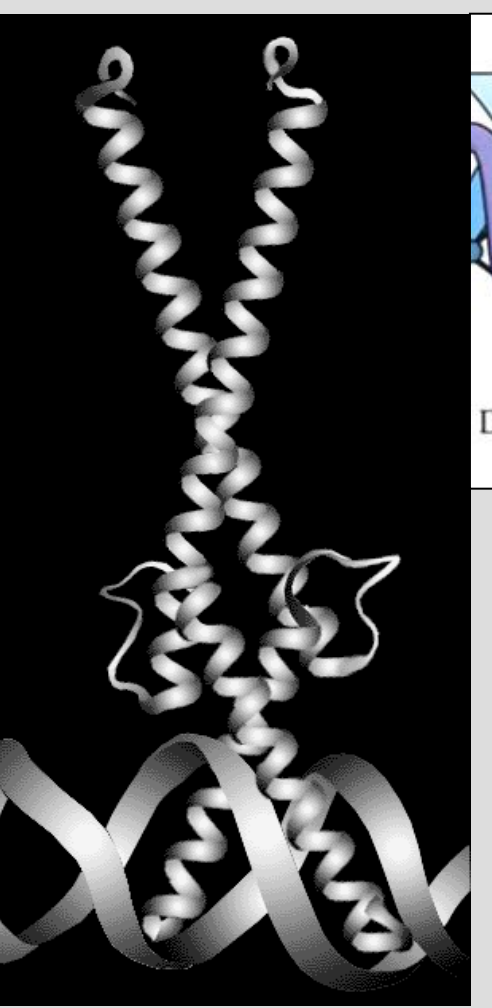
transcription. http://genet.univ-tours.fr/gen000600_fichiers/chap5-2.htm

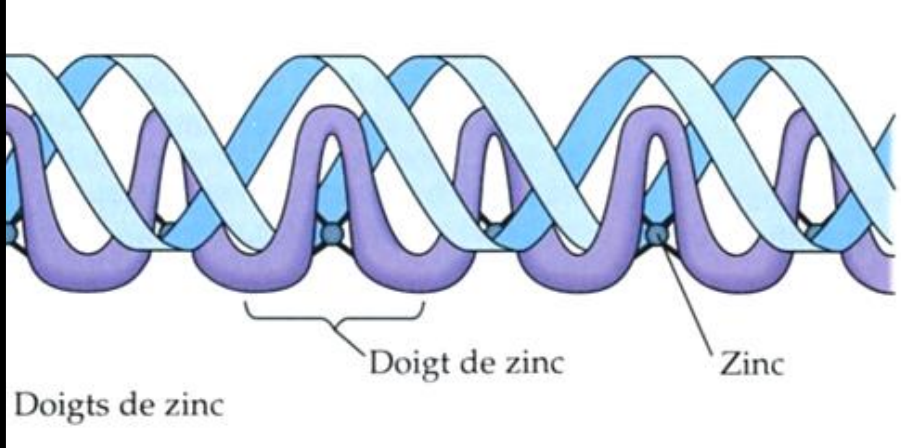


Formation du complexe d'initiation

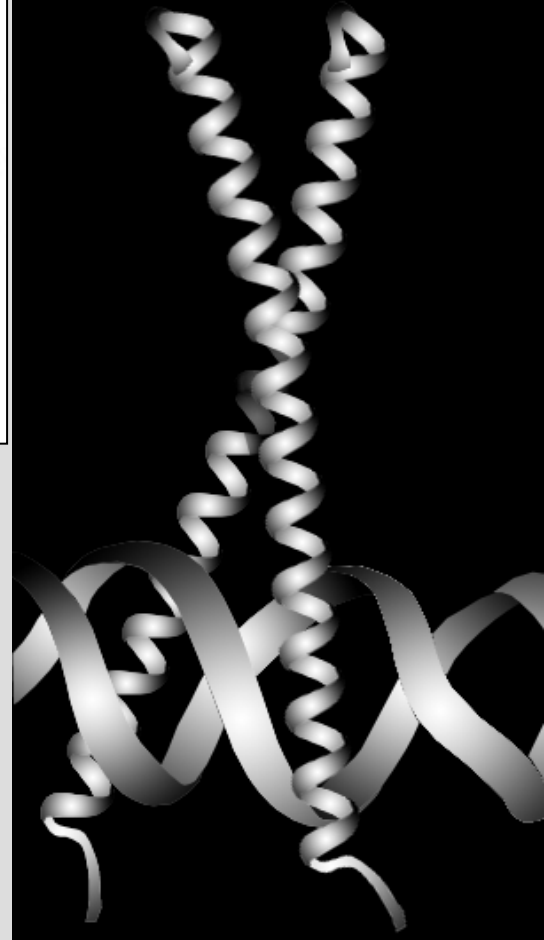
http://genet.univ-tours.fr/gen000600_fichiers/chap5-2.htm

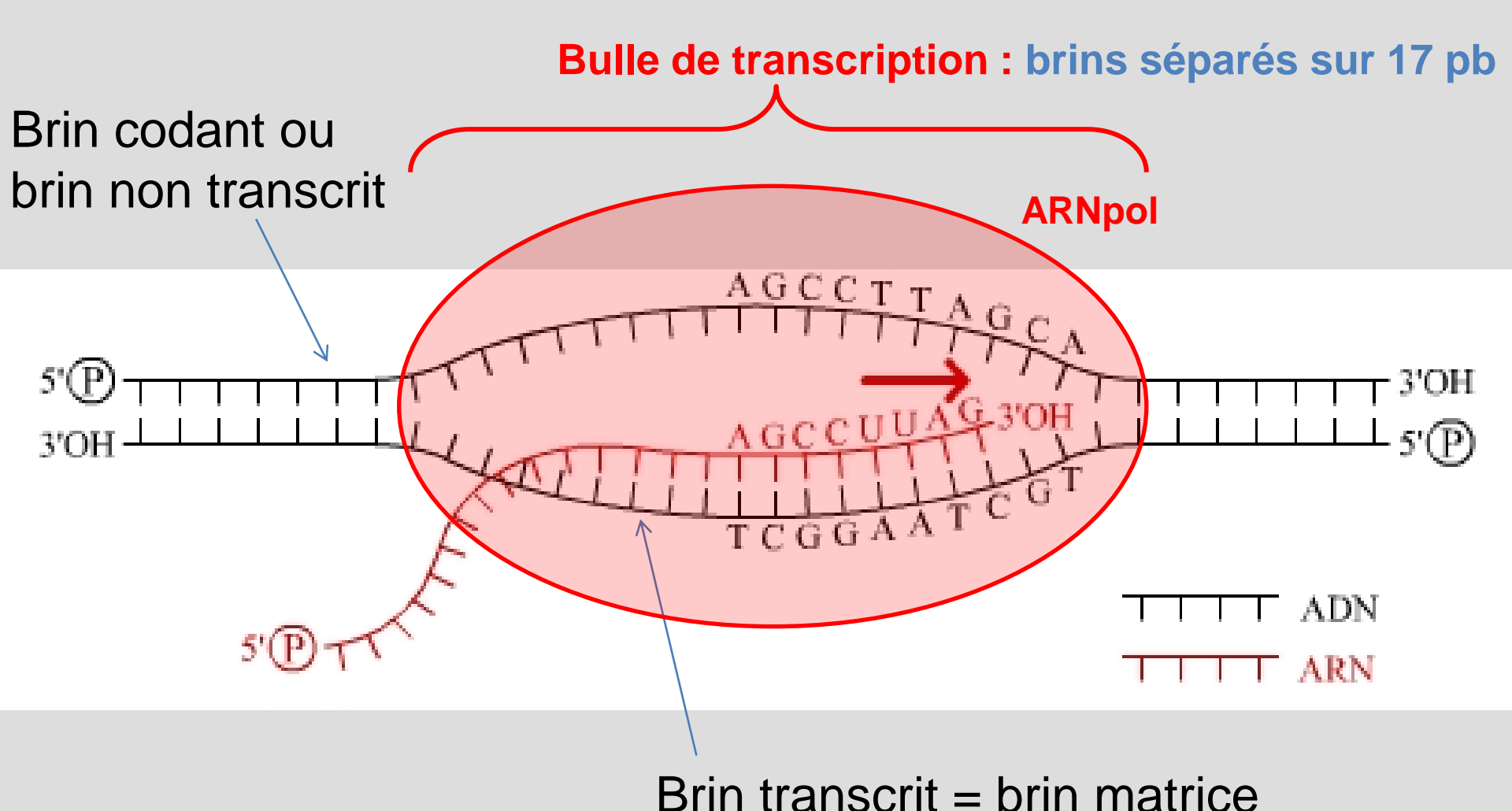
Quelques motifs communs des protéines qui se lient à l'ADN (voir <u>document 21</u>).





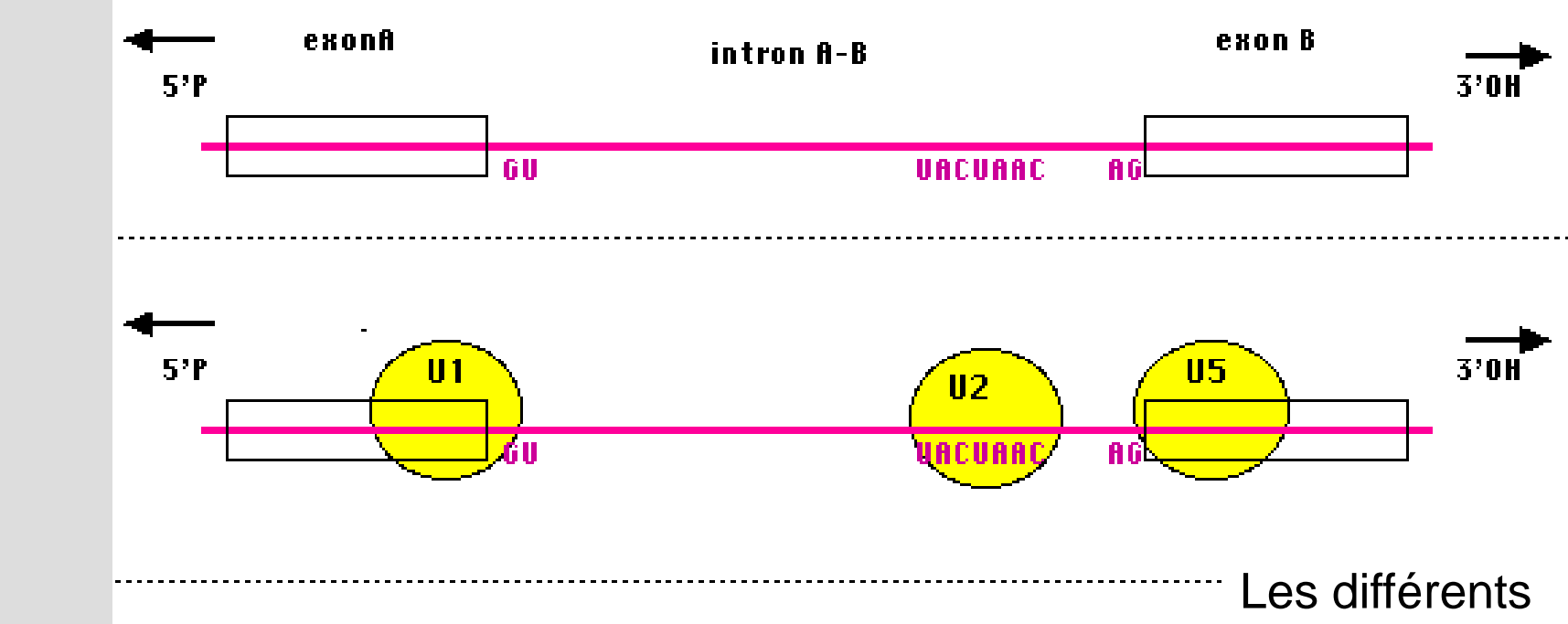
A gauche: domaine de liaison à motif hélice – boucle – hélice Au centre: domaine de liaison à motif en doigts de zinc A droite: domaine de liaison à motif fermeture à glissière de leucines.



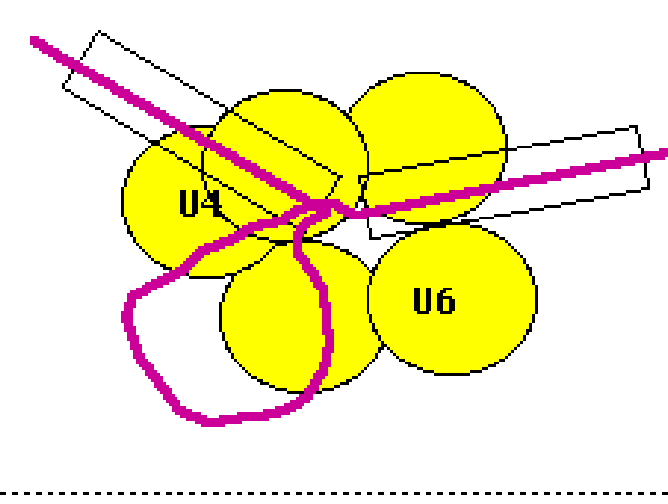


Document 2. Phase d'élongation et formation d'une bulle de transcription.

Mise en place de la coiffe en 5'



L'épissage En jaune : les snRNP



3'0H

exon B

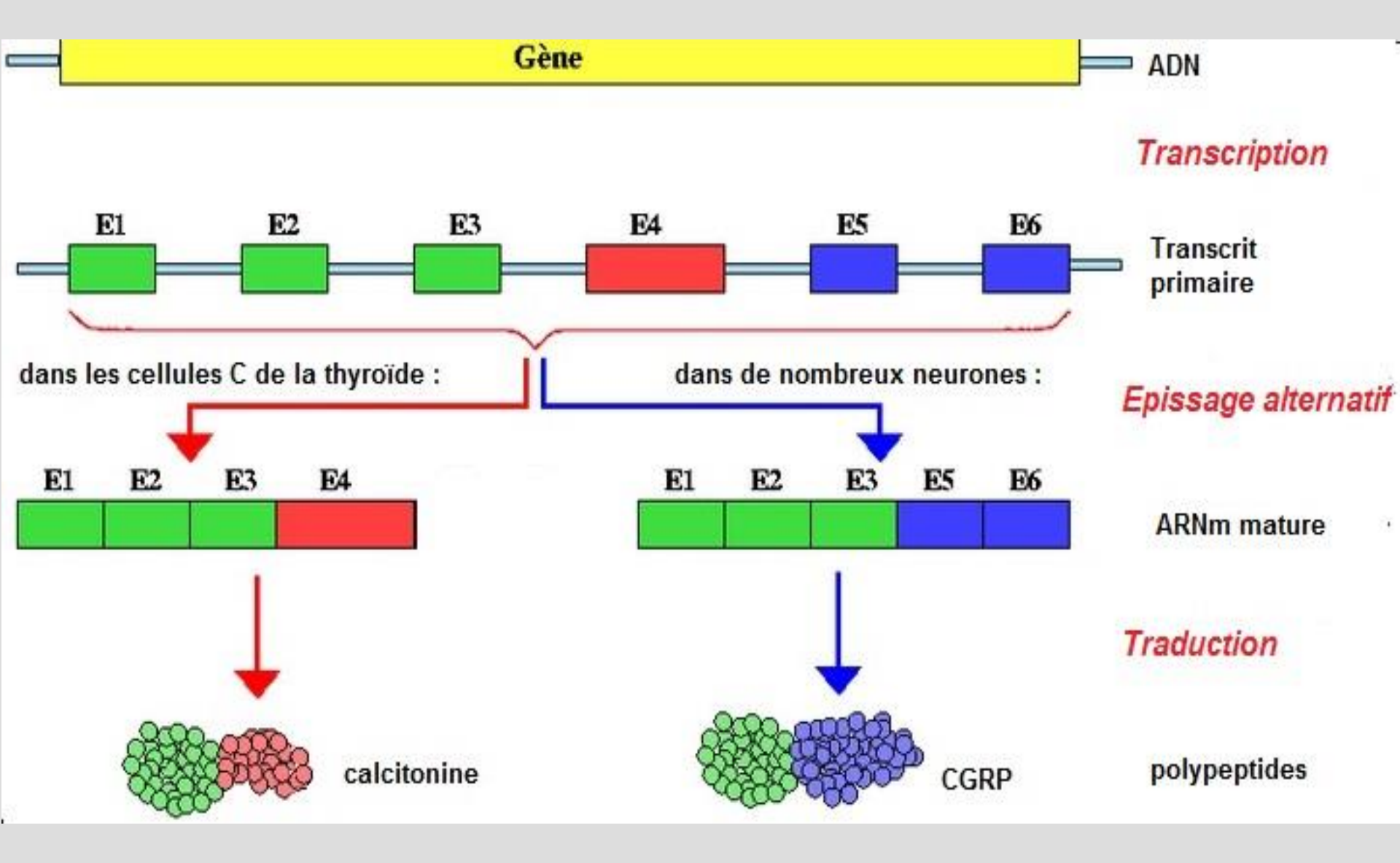
snRNP
s'associent en
un édifice qui
replie l'intron
et permet son
élimination
sous forme
d'un « lasso ».

http://genet.univ-tours.fr/gen000600_fichiers/chap5-2.htm

5'P

exonA

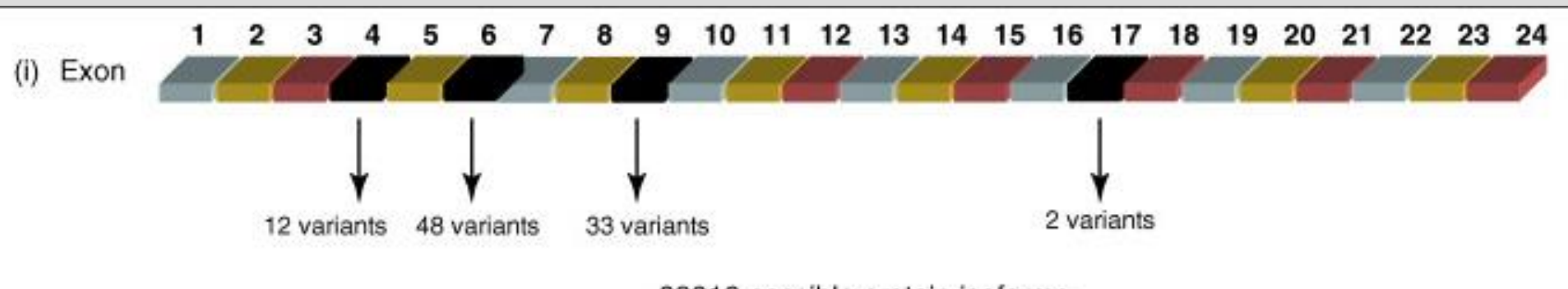
63'



<u>Document 3.</u> Un épissage alternatif tissu dépendant : l'épissage alternatif calcitonine / CGRP.

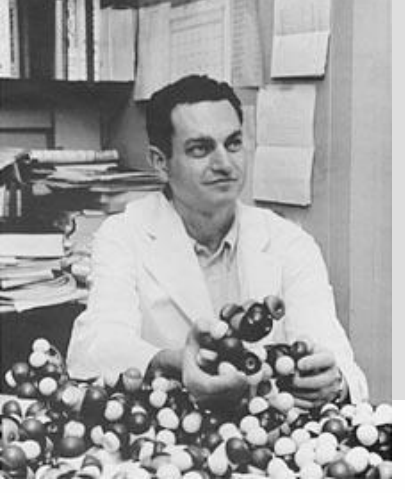
Le gène DSCAM
(Down Syndrom Cell Adhesion Molecule)
de la Drosophile peut
coder jusqu'à 38 016
ARNm différents



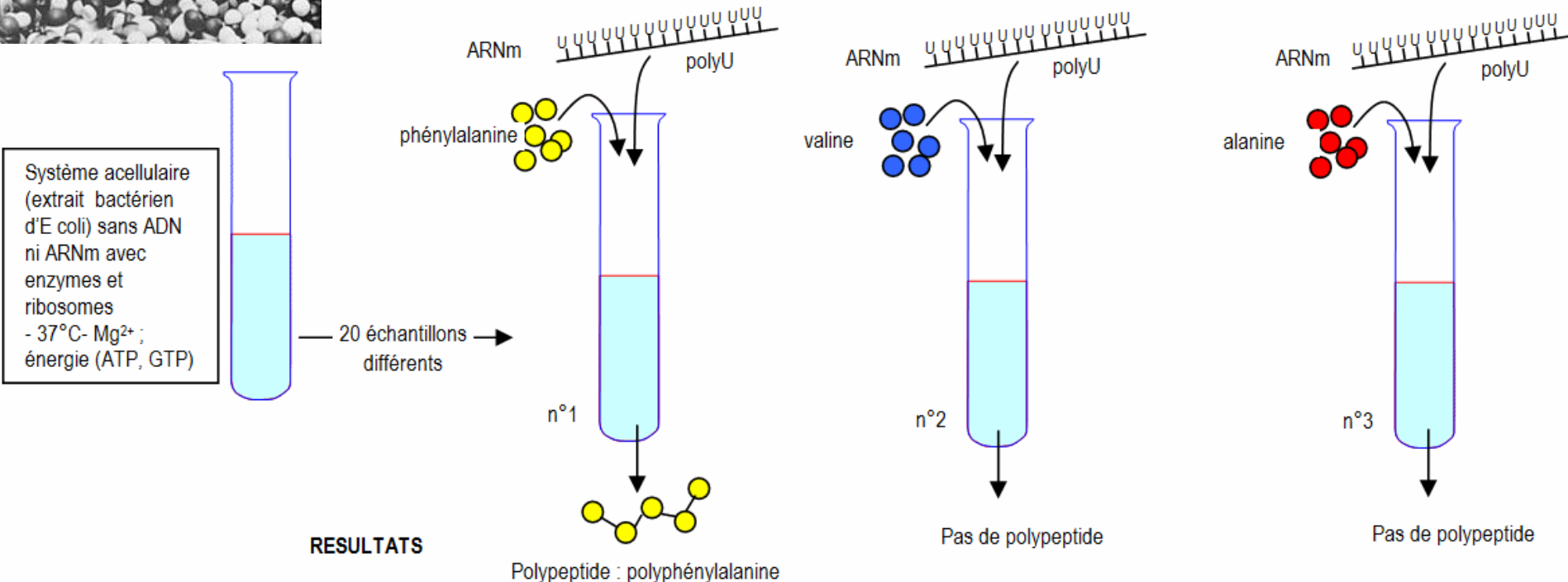


38016 possible protein isoforms

Les protéines codées sont des protéines membranaires intervenant dans le guidage des axones durant le développement post-embryonnaire.



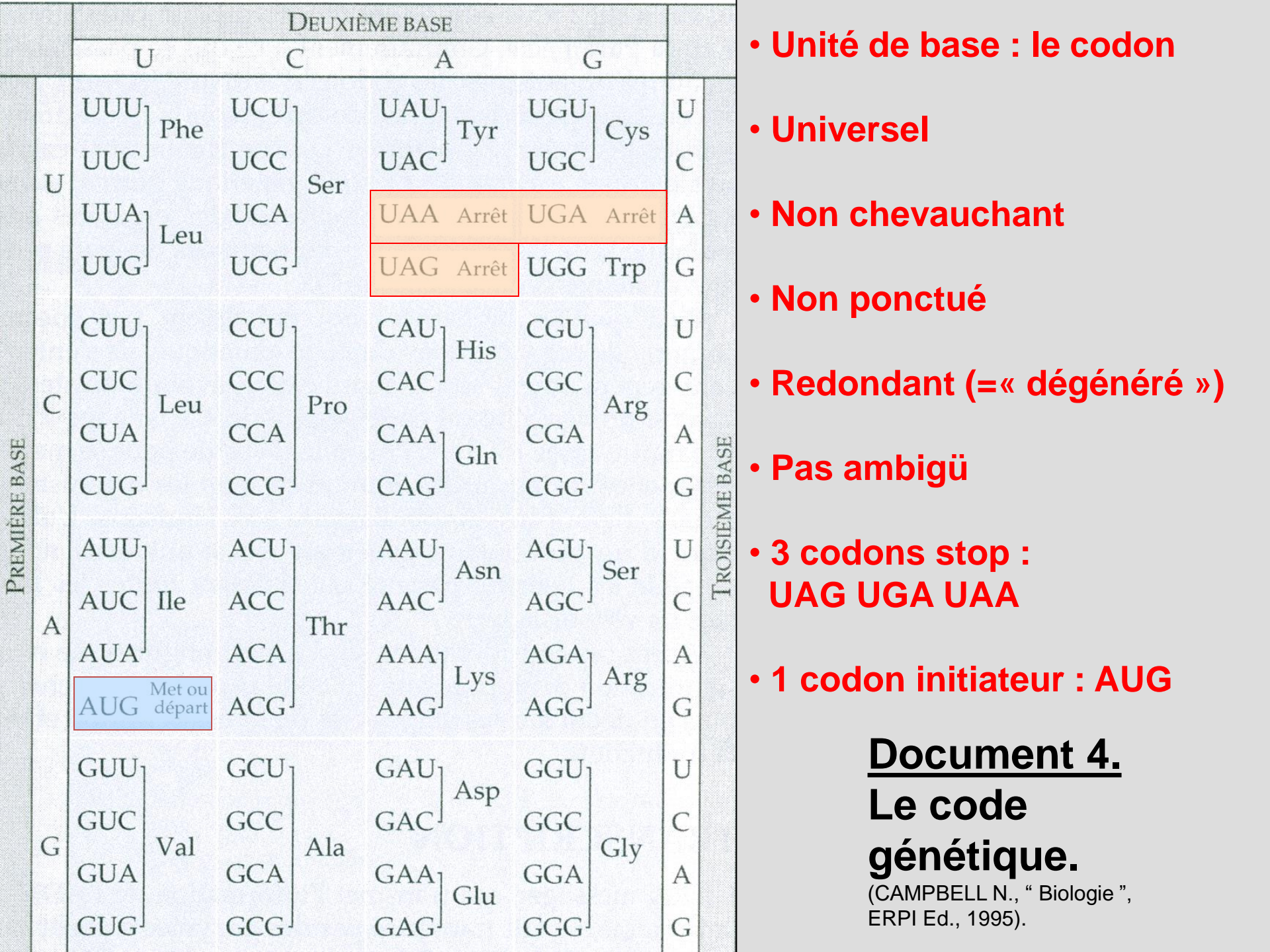
Expérience de Nirenberg, 1961

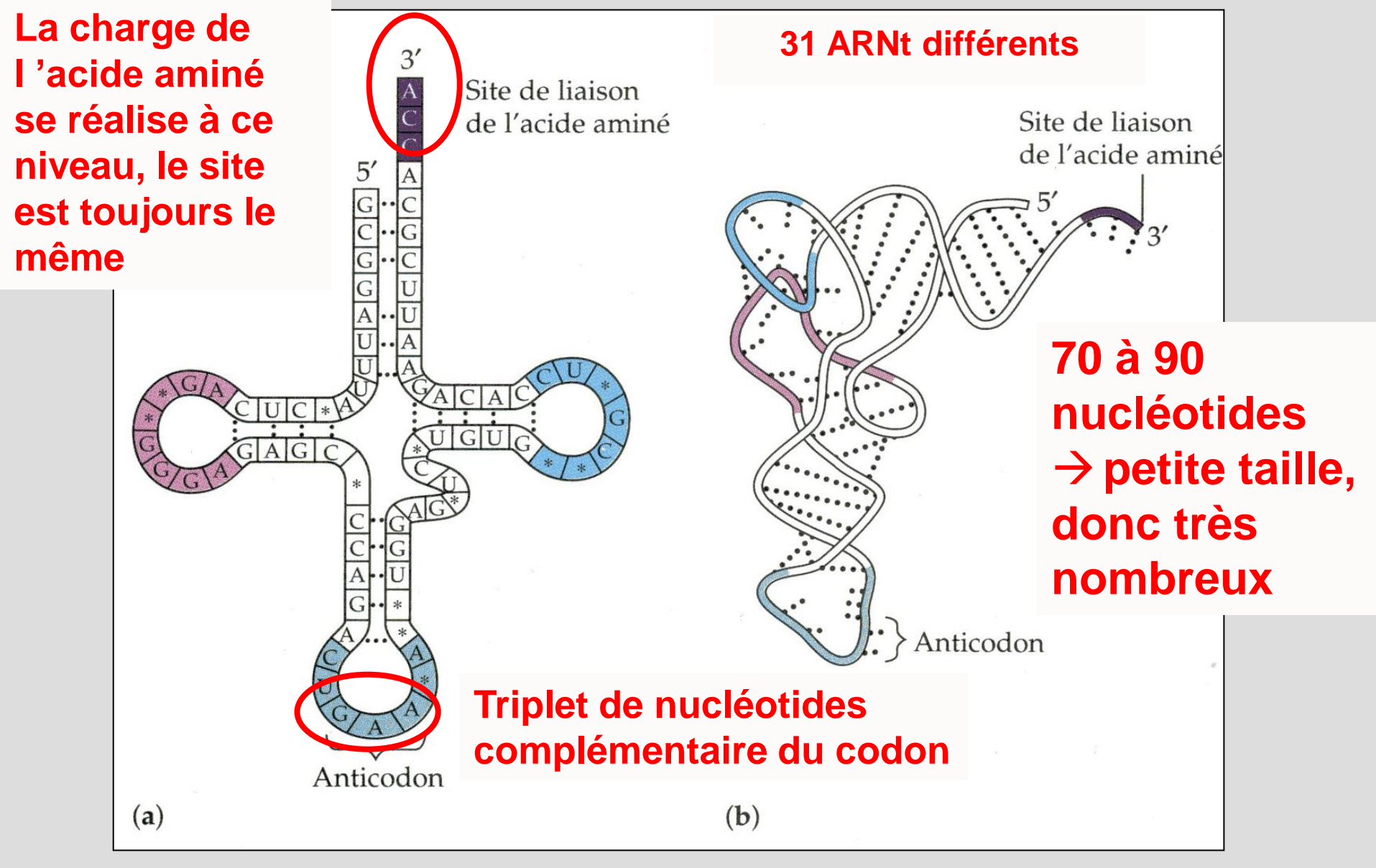


Autres expériences : avec

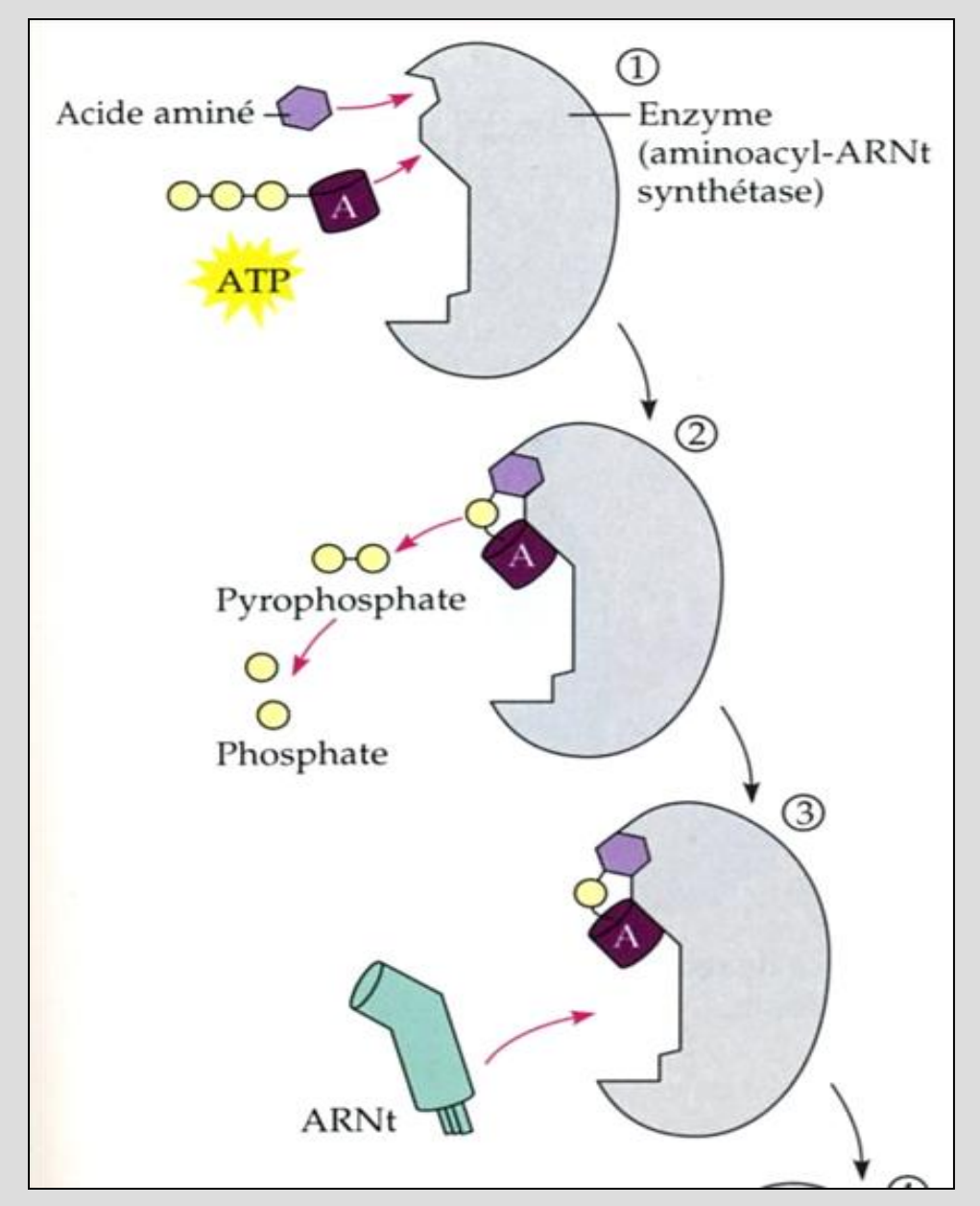
ARNm	polypeptide obtenu	
polyA	polymère de lysine	~~~
polyC	polymère de proline	•••

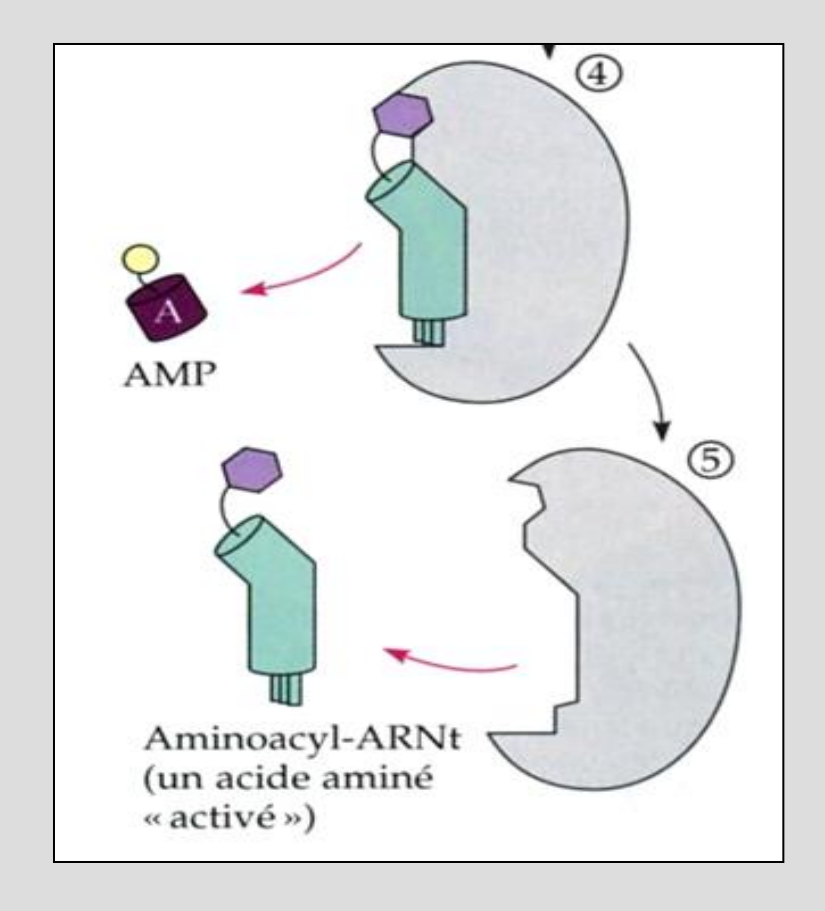
http://svt.acdijon.fr/schemassvt/article.php3?id_art icle=2984





<u>Document 5.</u> Structure de l'ARN de transfert. a. Structure bidimensionnelle en " feuille de trèfle ". b.Structure tridimensionnelle en L. (CAMPBELL N., " Biologie ", ERPI Ed., 1995).



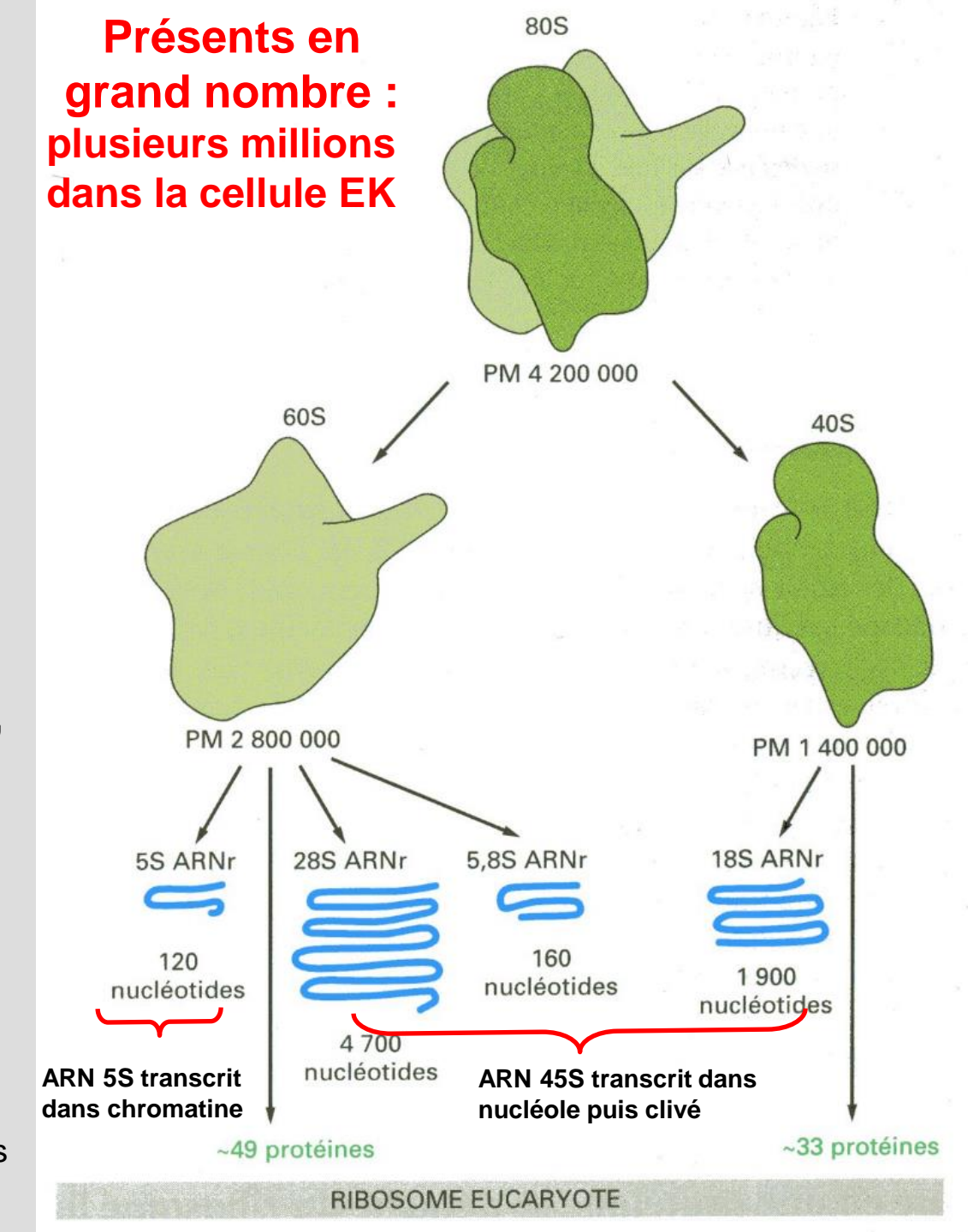


<u>Document 6.</u> Fixation de l'acide aminé sur l'ARNt correspondant par l'aminoacyl-ARNt synthétase.

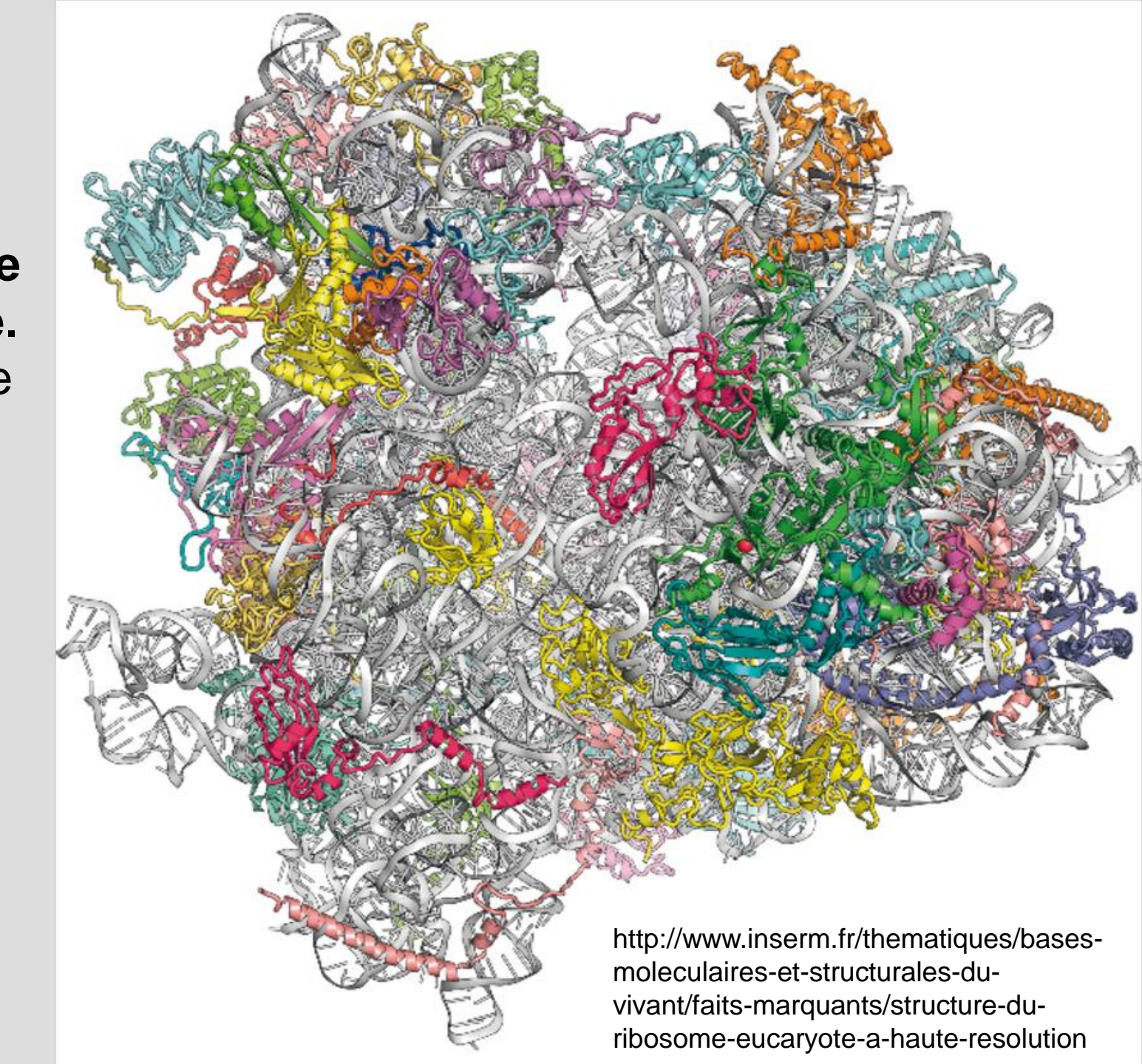
(CAMPBELL N., "Biologie", ERPI Ed., 1995).

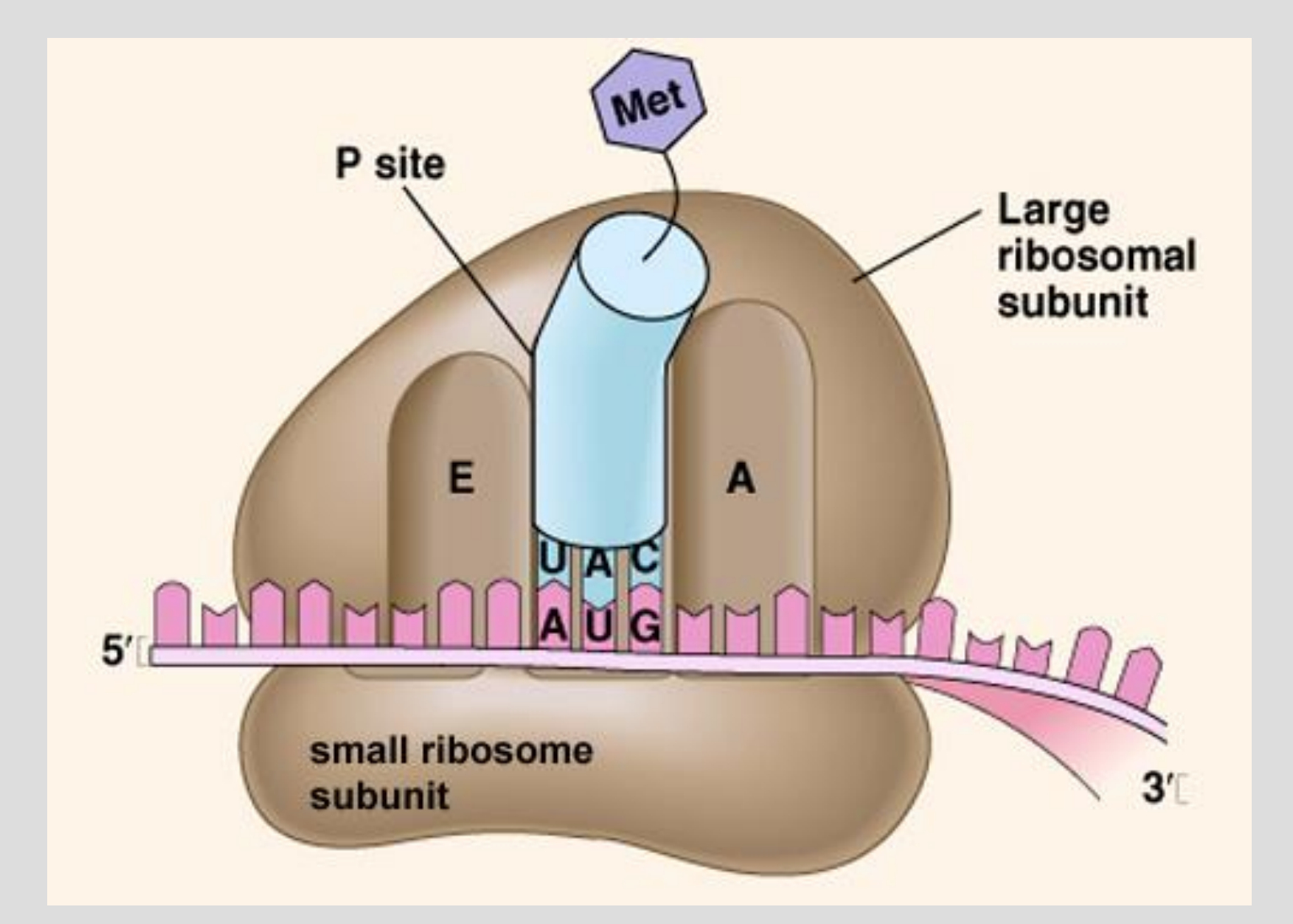
Document 7. Structure du ribosome des cellules eucaryotes.

Les composants ribosomaux sont généralement désignés par leur "S" qui représente leur vitesse de sédimentation par ultracentrifugation.



Premier modèle moléculaire du ribosome de l'Homme. Ce complexe macromoléculaire est composé de quatre molécules d'ARN (gris) et de 79 protéines (rubans colorés).



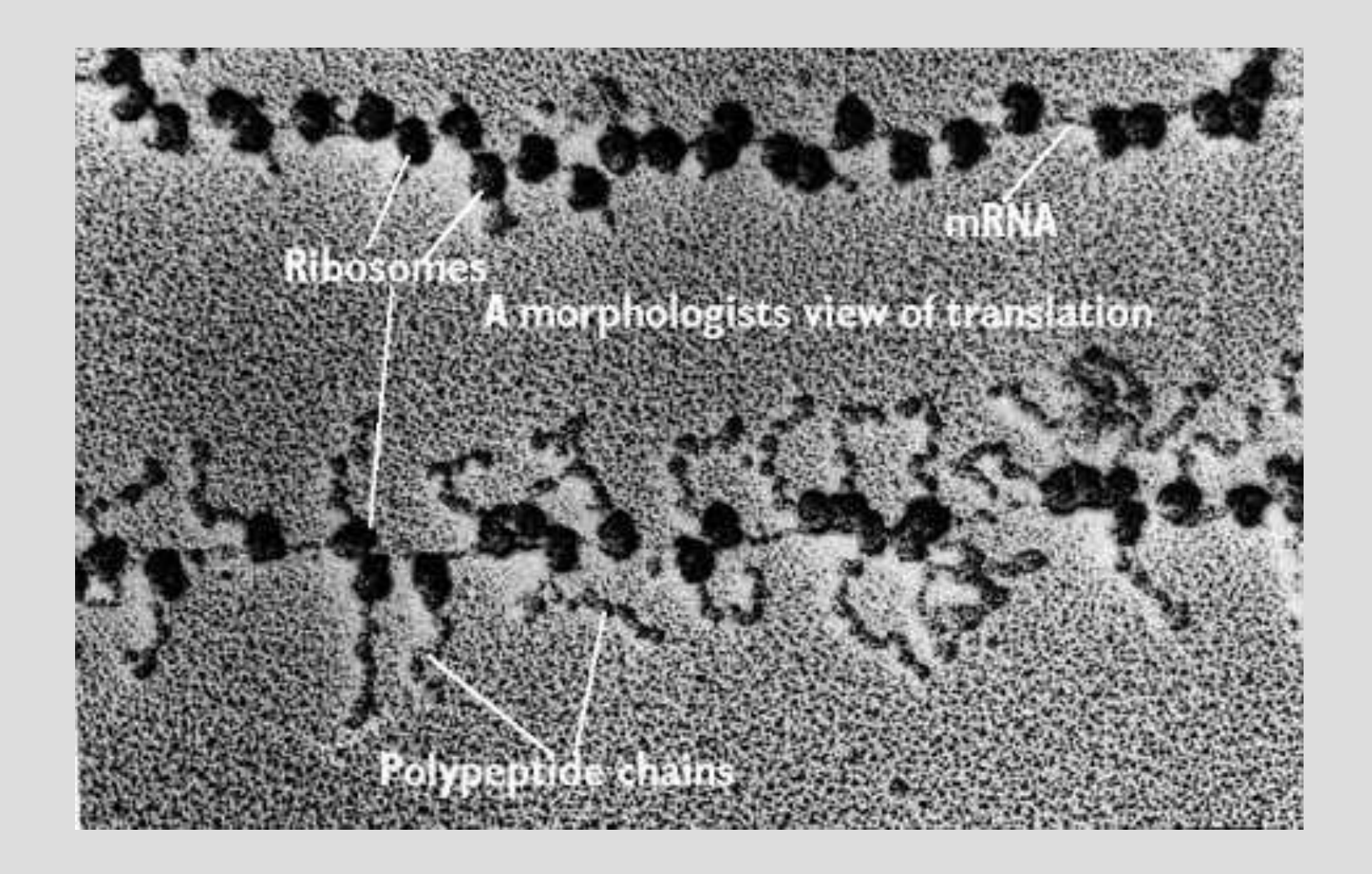


Structure d'un ribosome assemblé

Site E: « exit site » site de « sortie » de l'ARNt déchargé

Site P: site de liaison au peptidyl-ARNt

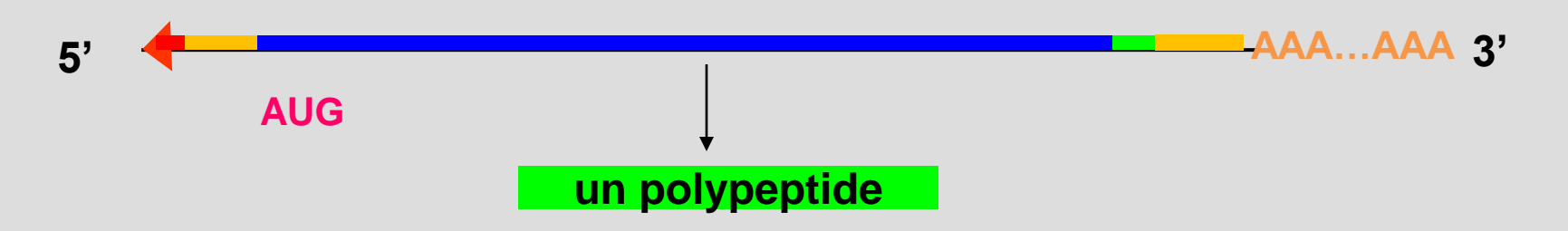
Site A: site de liaison à l'aminoacyl-ARNt



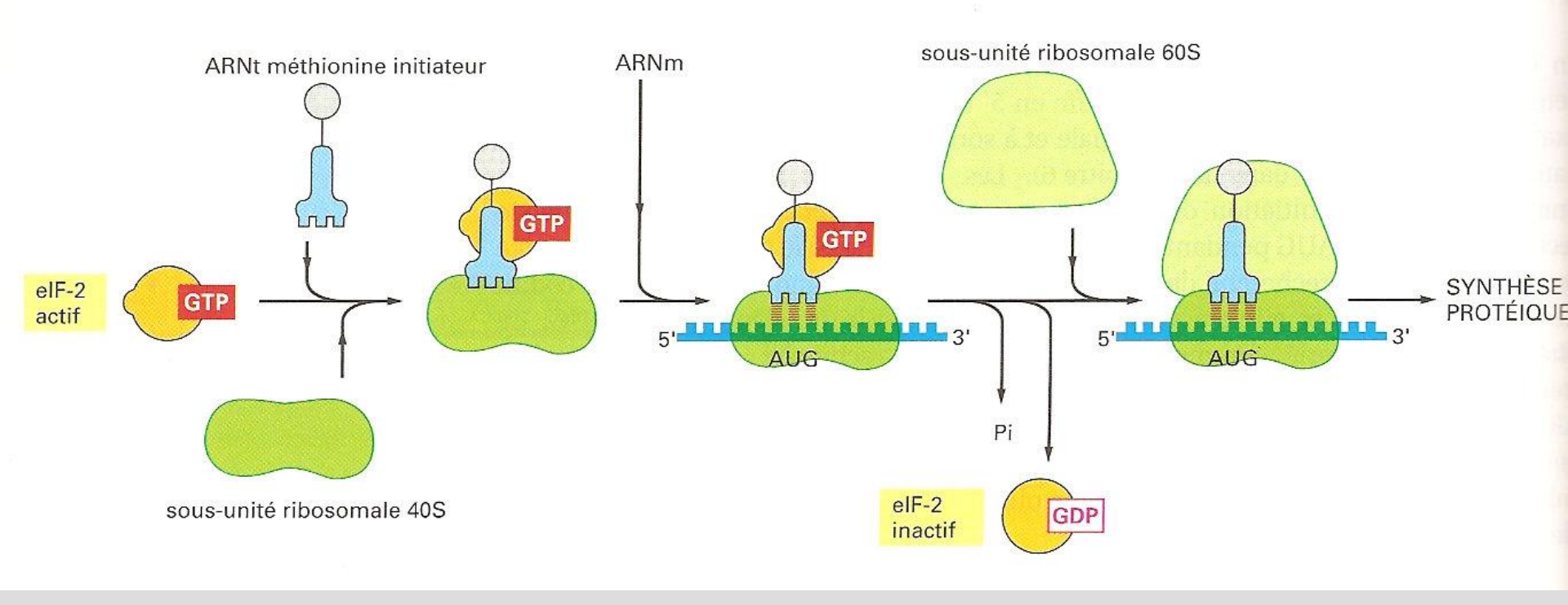
Polysomes

Plusieurs ribosomes sont associés à un même ARNm et chacun d'eux synthétise une chaîne polypeptidique.

Rappel: organisation d'un ARNm eucaryote



- site de liaison du ribosome
- séquence non codante
- séquence codante
- codon stop

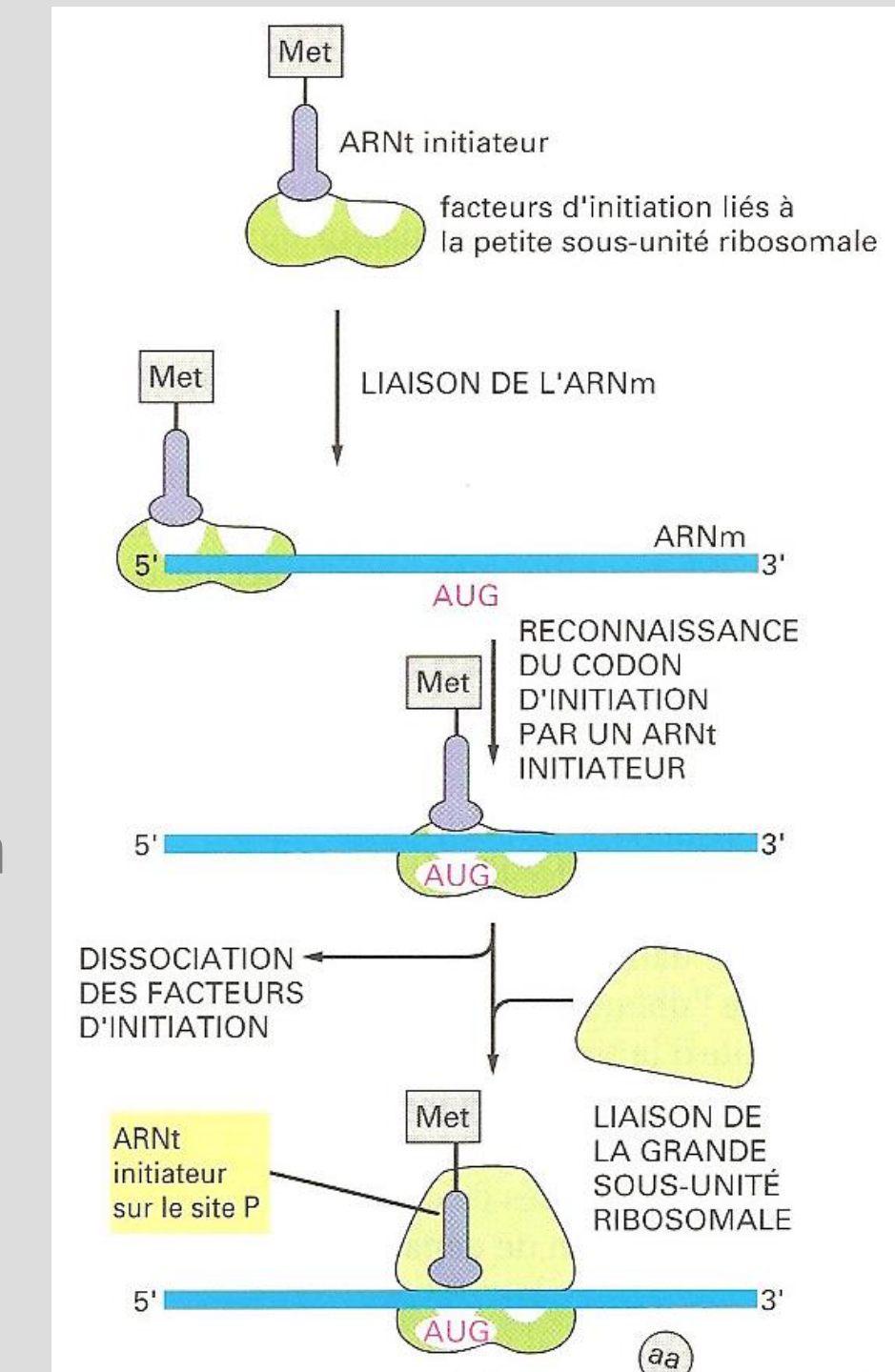


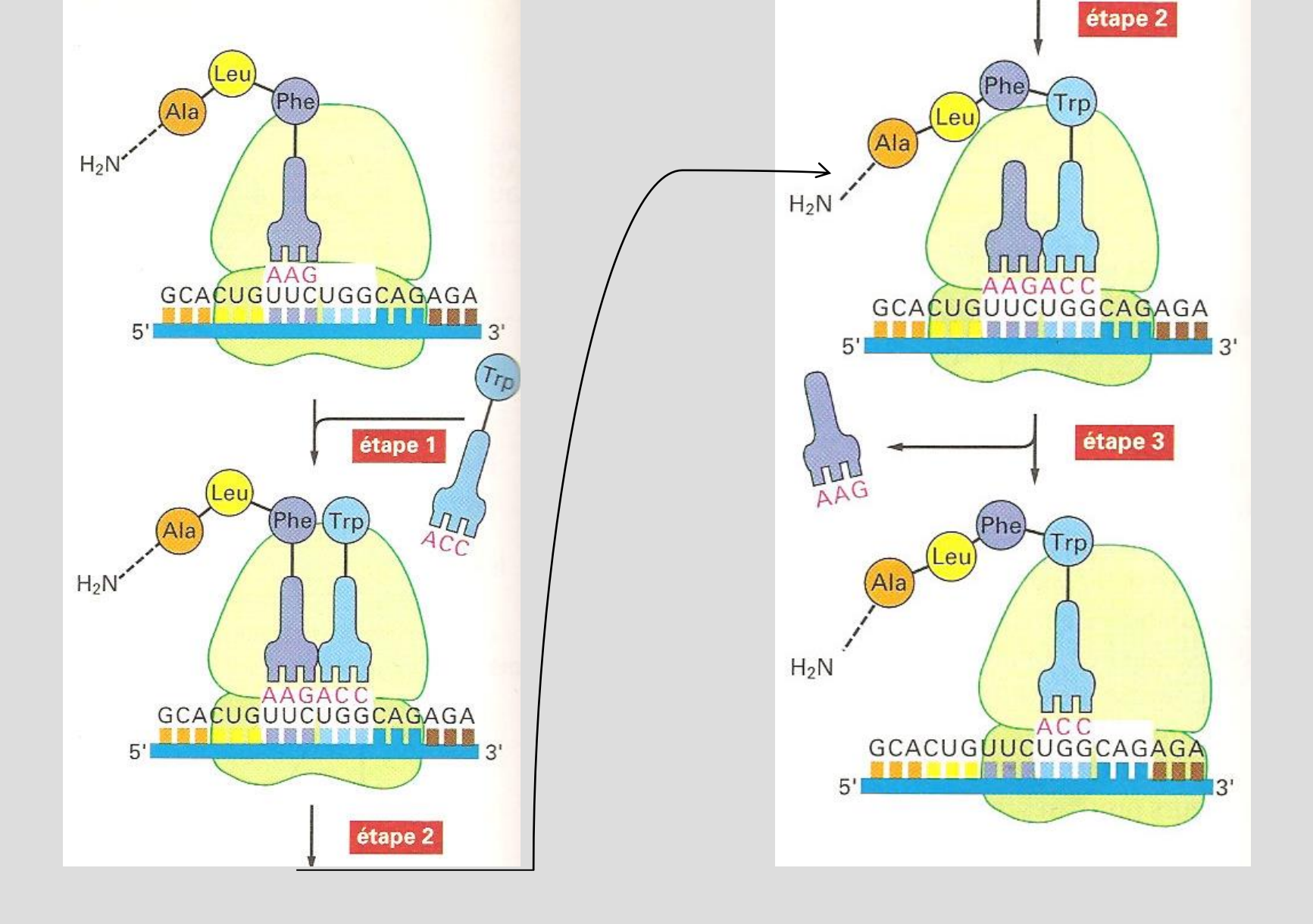
Document 8. Initiation de la traduction :

1 - rôle du facteur d'initiation elF-2.

Document 8. Initiation de la traduction :

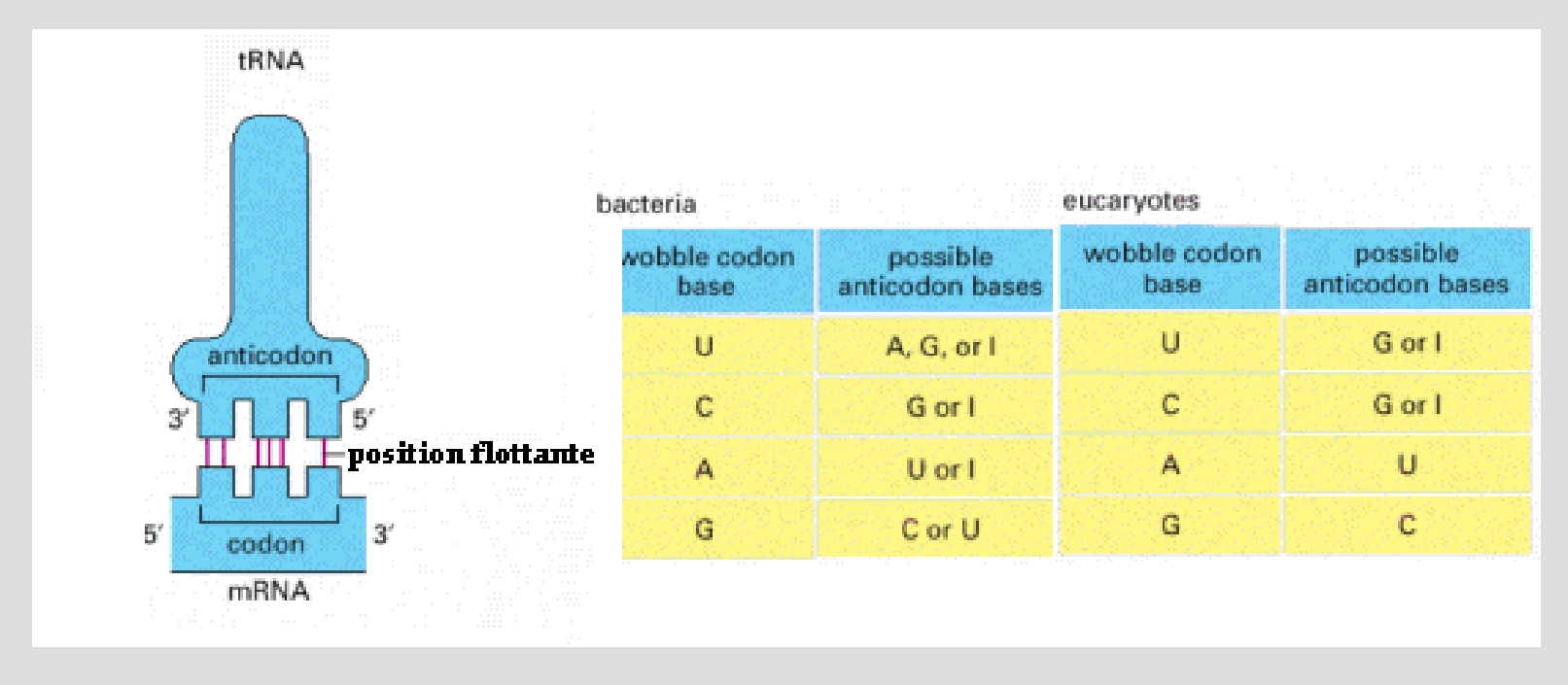
2 – De la liaison à l'ARNm à la formation du ribosome fonctionnel.





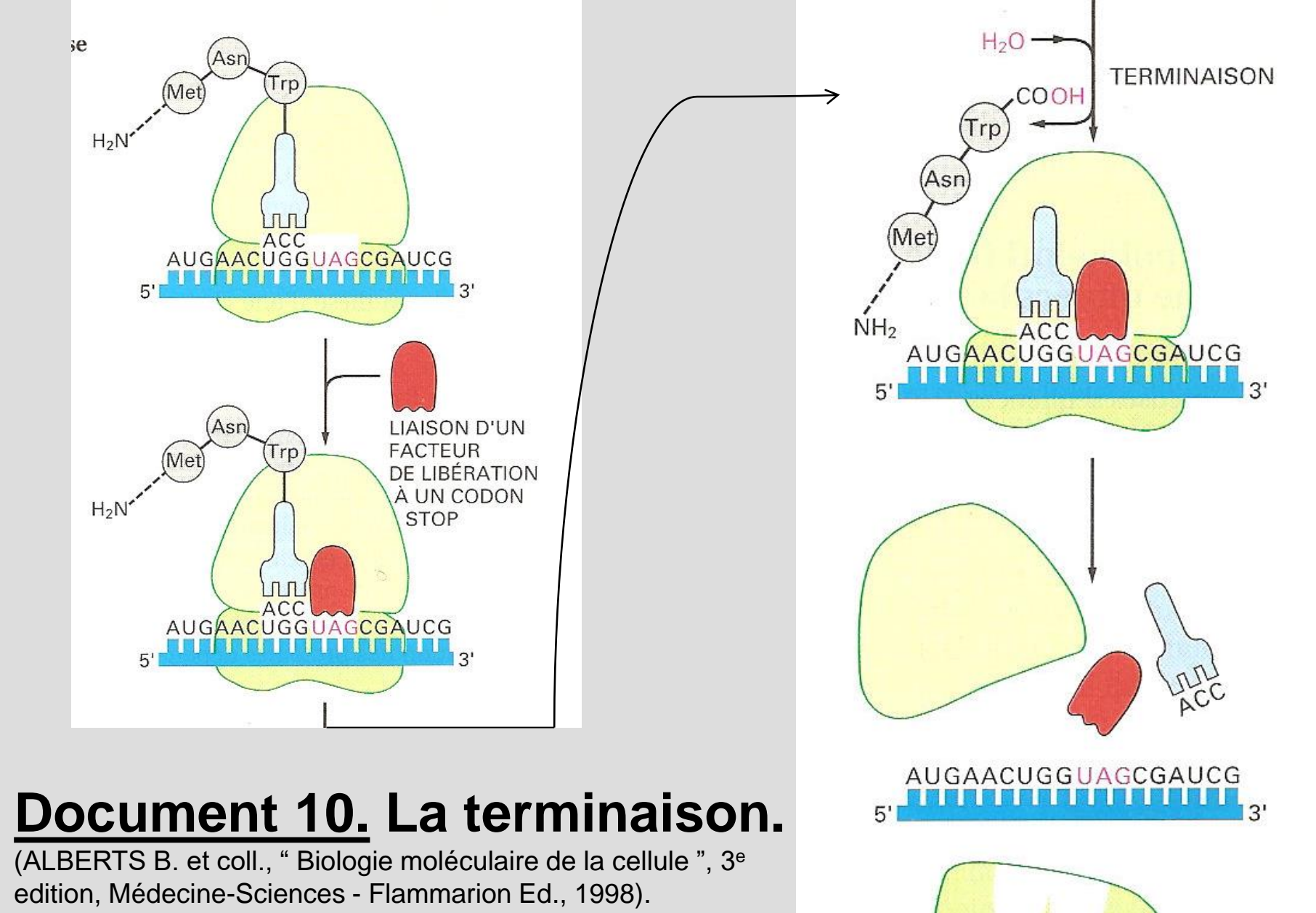
Document 9. L'élongation.

- > appariement codon-anticodon
- > flottement de la 3ème base ou wobble

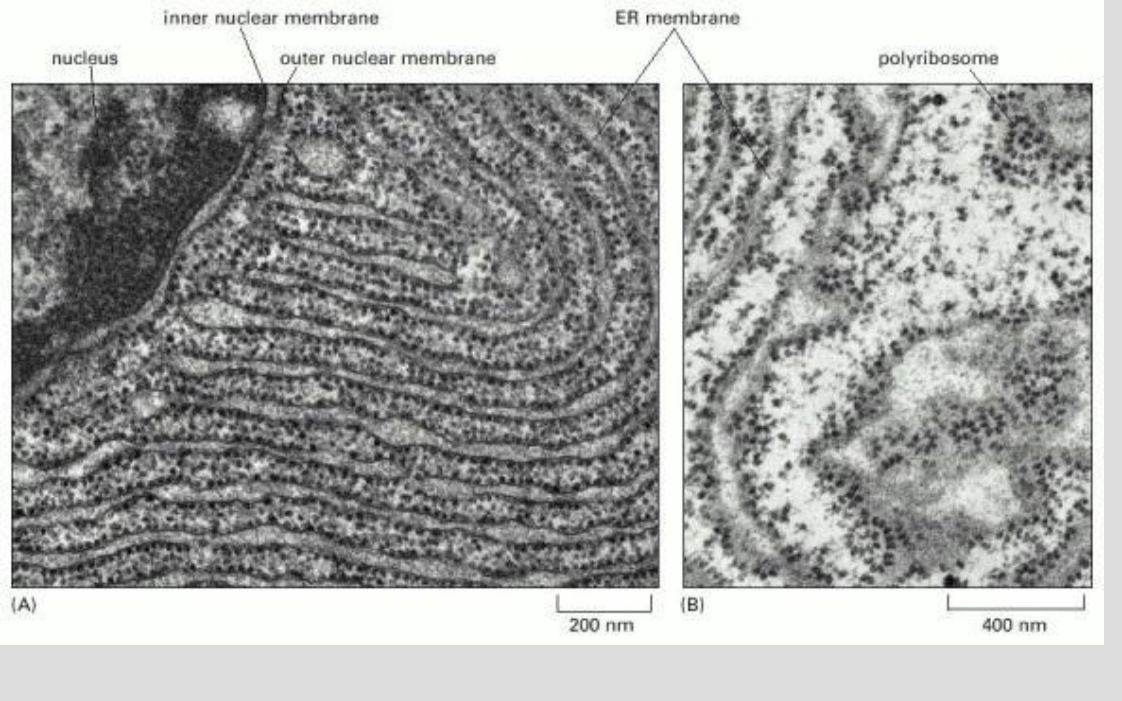


I : inosine, équivalent désaminé de la guanosine

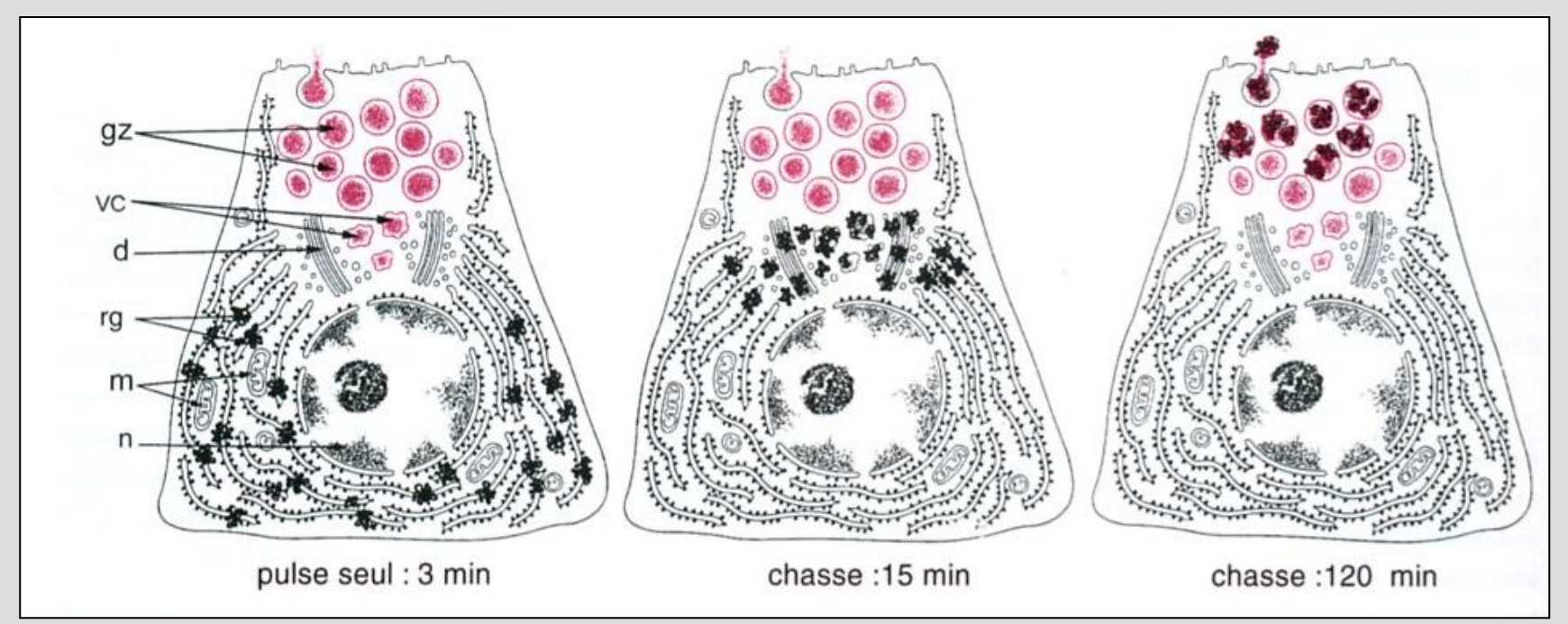
Les codons UUU(5'-3') et UUC de Phe sont tous les deux reconnus par l'ARNt dont l'anticodon est GAA (5'-3').



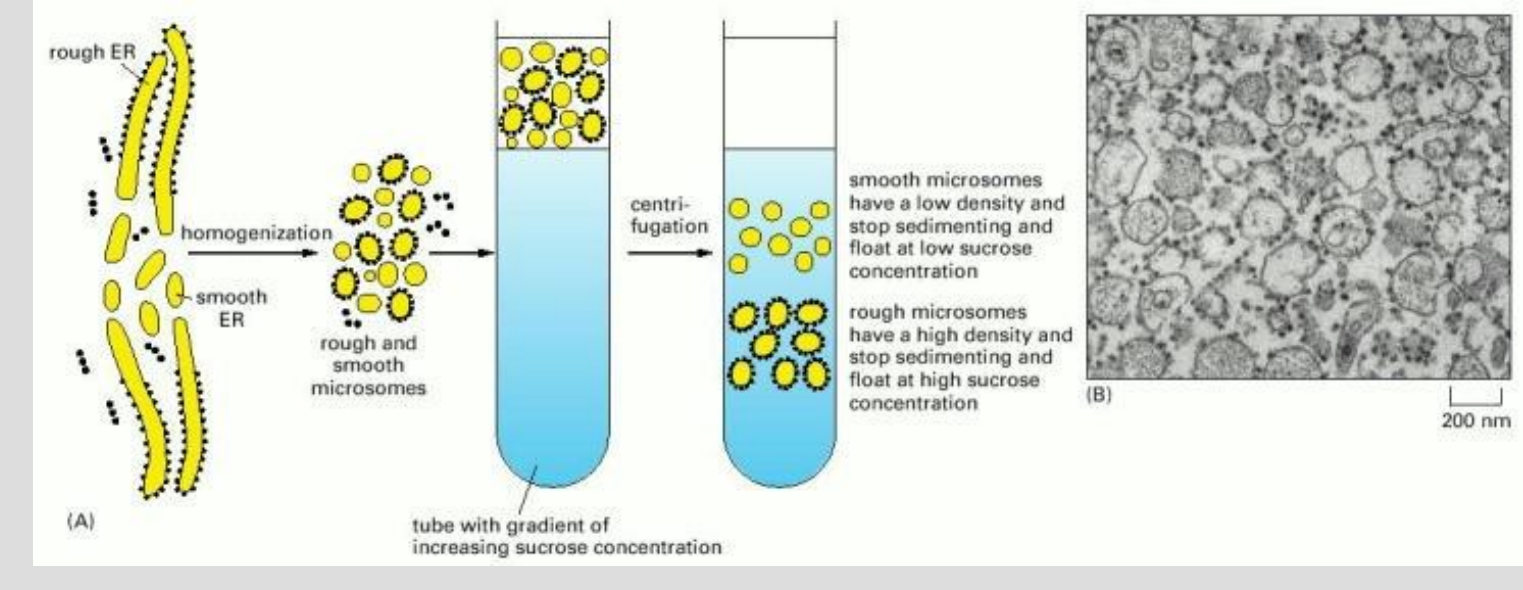
→ Animation traduction



Expérience de Palade :
localisation de la
synthèse protéique et
devenir des protéines
dans une cellule
sécrétrice : la cellule
acineuse pancréatique



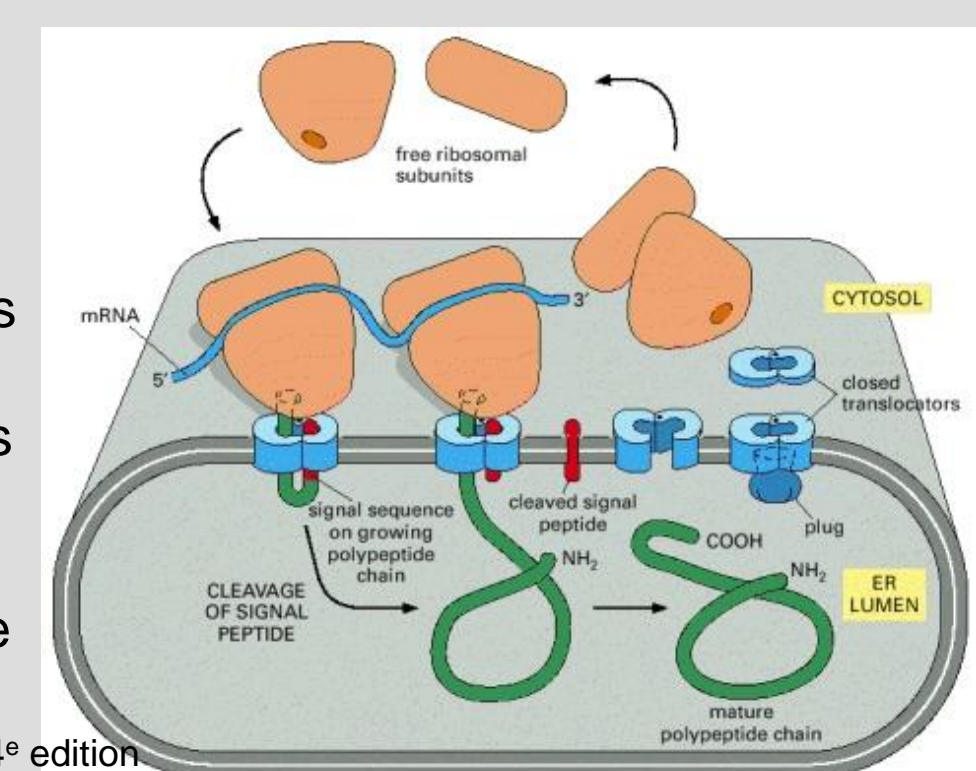
Obtention de microsomes



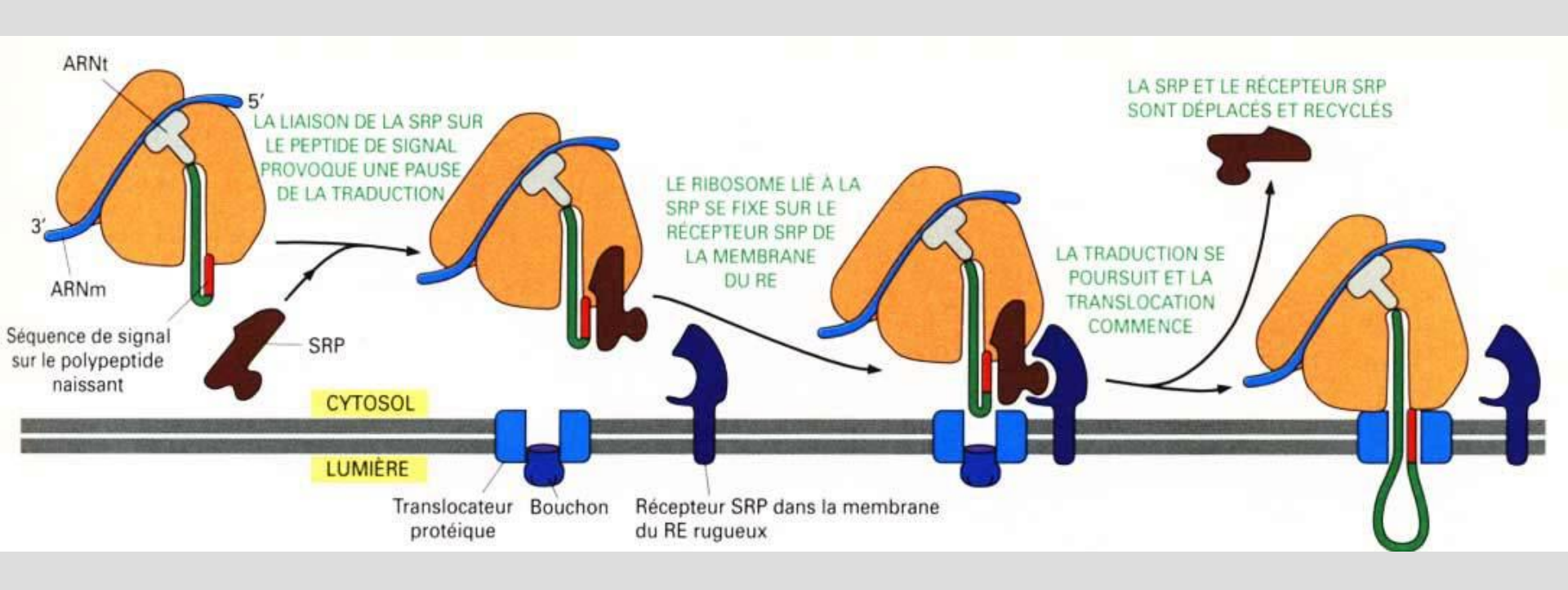
Expériences de traduction in vitro d'une protéine sécrétée :

→ Hypothèse du signal

- Sans microsomes → plus longue
- Avec microsomes → longueur normale
- Sans microsomes et ajout protéases
 → protéine dégradée
- Avec microsomes et ajout protéases
 → protéine intacte
- protéine dépourvue de signal + microsomes + protéases → protéine dégradée



ALBERTS B. et coll., "Molecular Biology of the Cell ", 4e edition



Document 11. Modalités d'adressage au REG et translocation co-traductionnelle des protéines destinées aux membranes et à la sécrétion

(ALBERTS B. et coll., "Biologie moléculaire de la cellule", 4e edition)

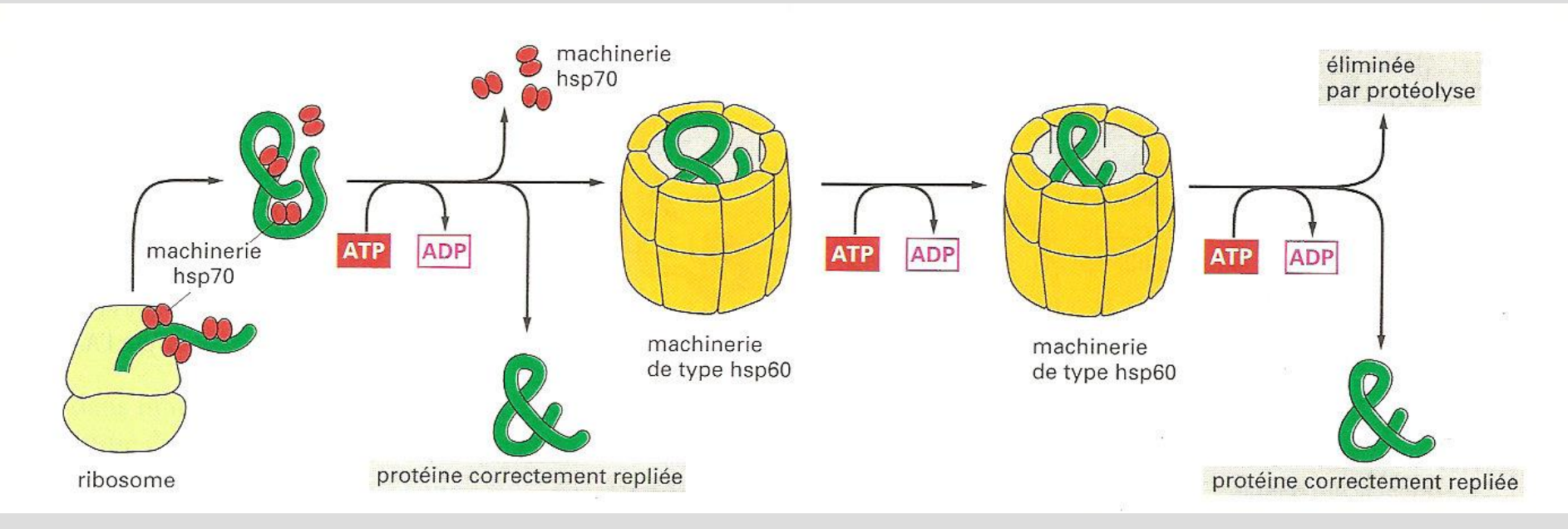
Document 12.

Modalités de maturation des protéines.



ALBERTS B. et coll., "Molecular Biology of the Cell ", 4e edition

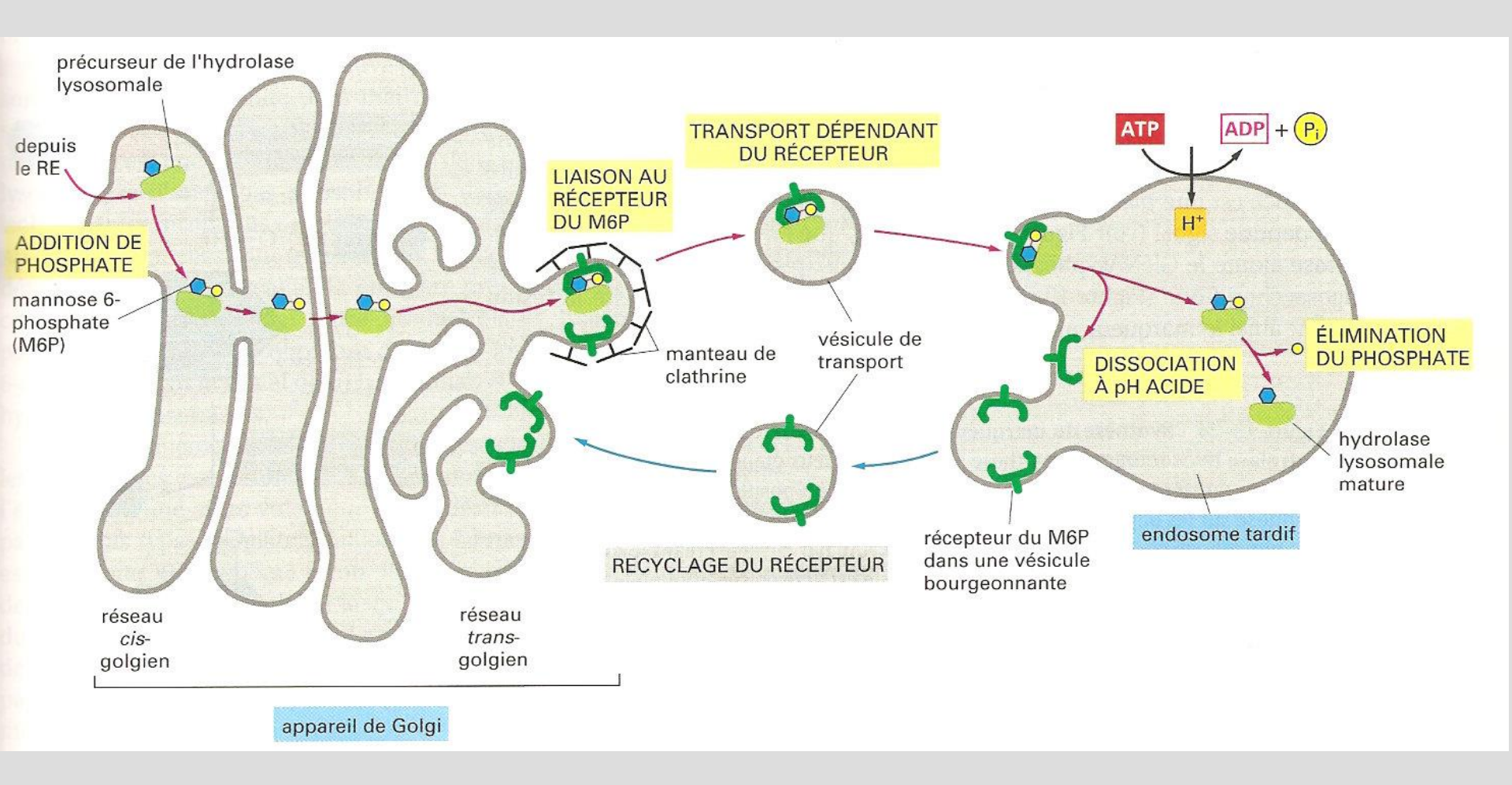
<u>Document 13</u>. Rôle des protéines chaperonnes hsp70 et hsp60.

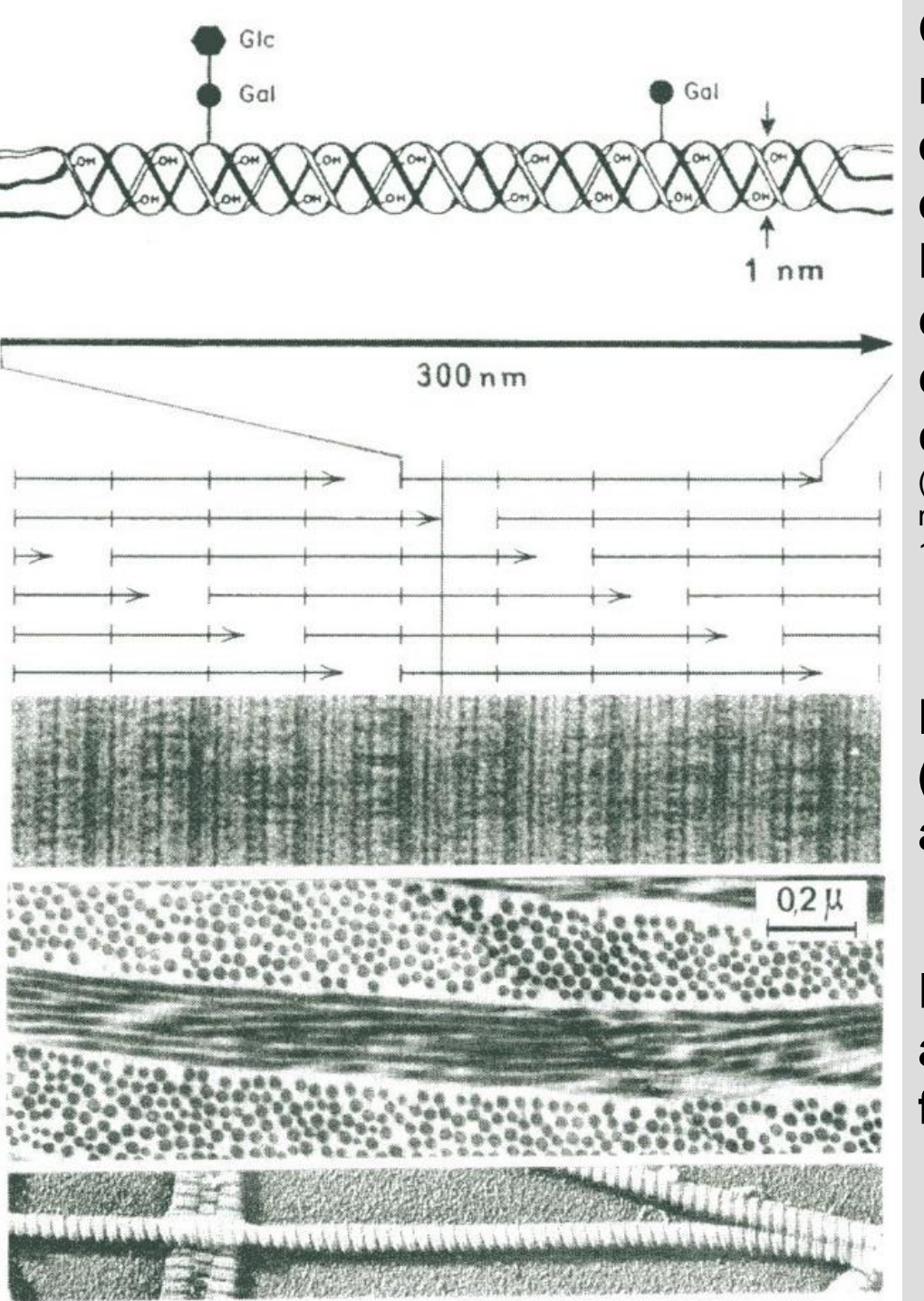


Les protéines hsp70 agissent précocement, en reconnaissant de petites régions à la surface de protéines. Les protéines hsp60 agissent ensuite sur les protéines qui n'ont pas réussi à se replier correctement. L'hydrolyse de l'ATP par les protéines hsp contribue à la liaison et à la libération des protéines et les aide à adopter leur conformation finale.

(ALBERTS B. et coll., "Biologie moléculaire de la cellule", 3e edition)

<u>Document 14</u>. Transport des enzymes lysosomales vers les lysosomes.





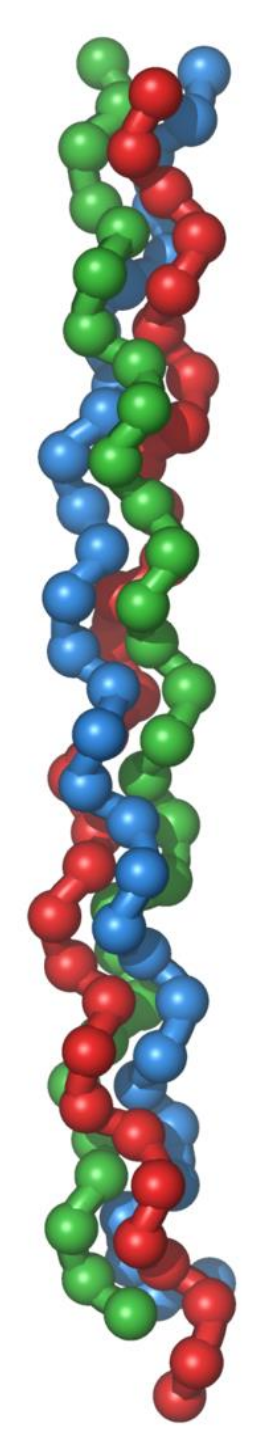
Organisation moléculaire et structure des fibres de collagène de type I.

Le collagène s'organise en fibres épaisses visibles en ME dans les tissus conjonctifs.

(CALLEN JC., "Biologie cellulaire: des molécules aux organismes"; Dunod Ed., 1999).

Molécules de (tropo)collagène associées en fibrille

Fibrilles associées en fibres



Etapes de la synthèse du collagène

Etape 1: excision du peptide signal.

Etape 2: hydroxylation de plusieurs PRO et LYS, N-glycosylation du propeptide Cterminal, O-glycosylation de certaines hydroxyLYS.

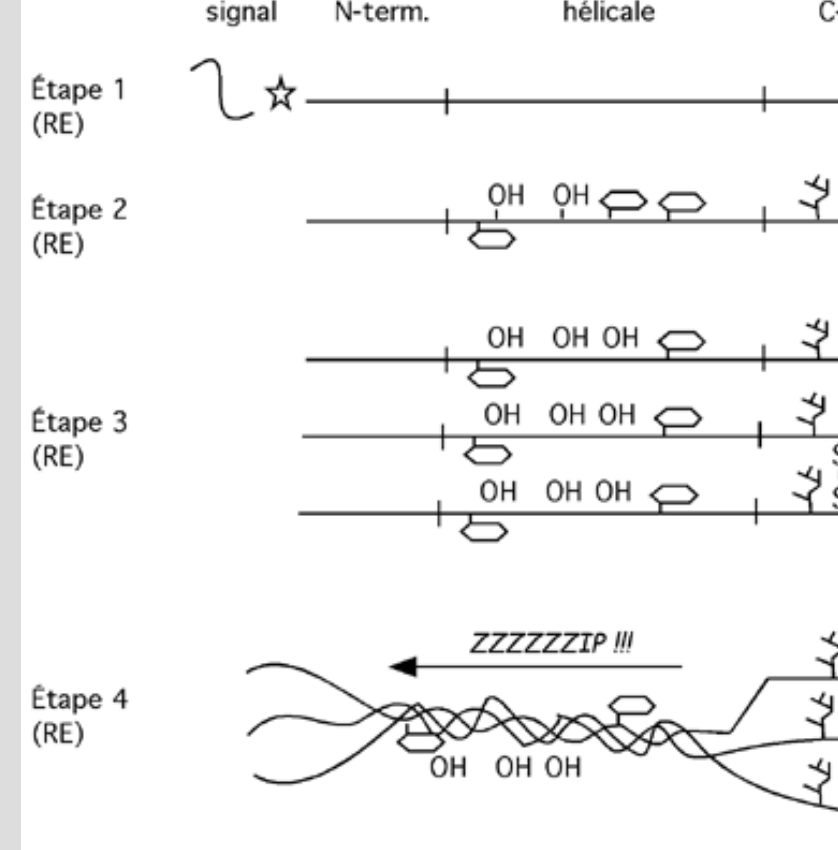
Etape 3 : alignement de trois chaînes grâce à des modifications + formation de ponts S-S entre propeptides C-terminaux.

Etape 4 : dans l'appareil de Golgi, enroulement de la triple hélice « comme une fermeture éclair » en direction du Nterminus.

Etape 5: suite de la maturation, puis exocytose.

Etape 6 : des procollagène-peptidases ont clivé les propeptides terminaux, libérant une triple hélice mature de tropocollagène.

http://biochimiedesproteines.espaceweb.usherb rooke.ca/3f.html



propeptide

N-term.

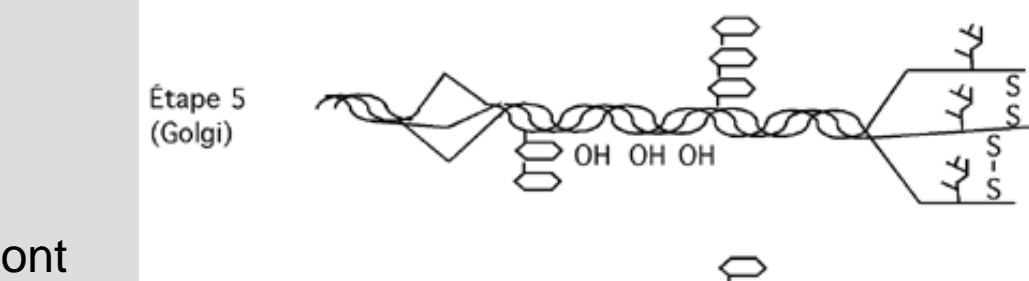
peptide

région

hélicale

propeptide

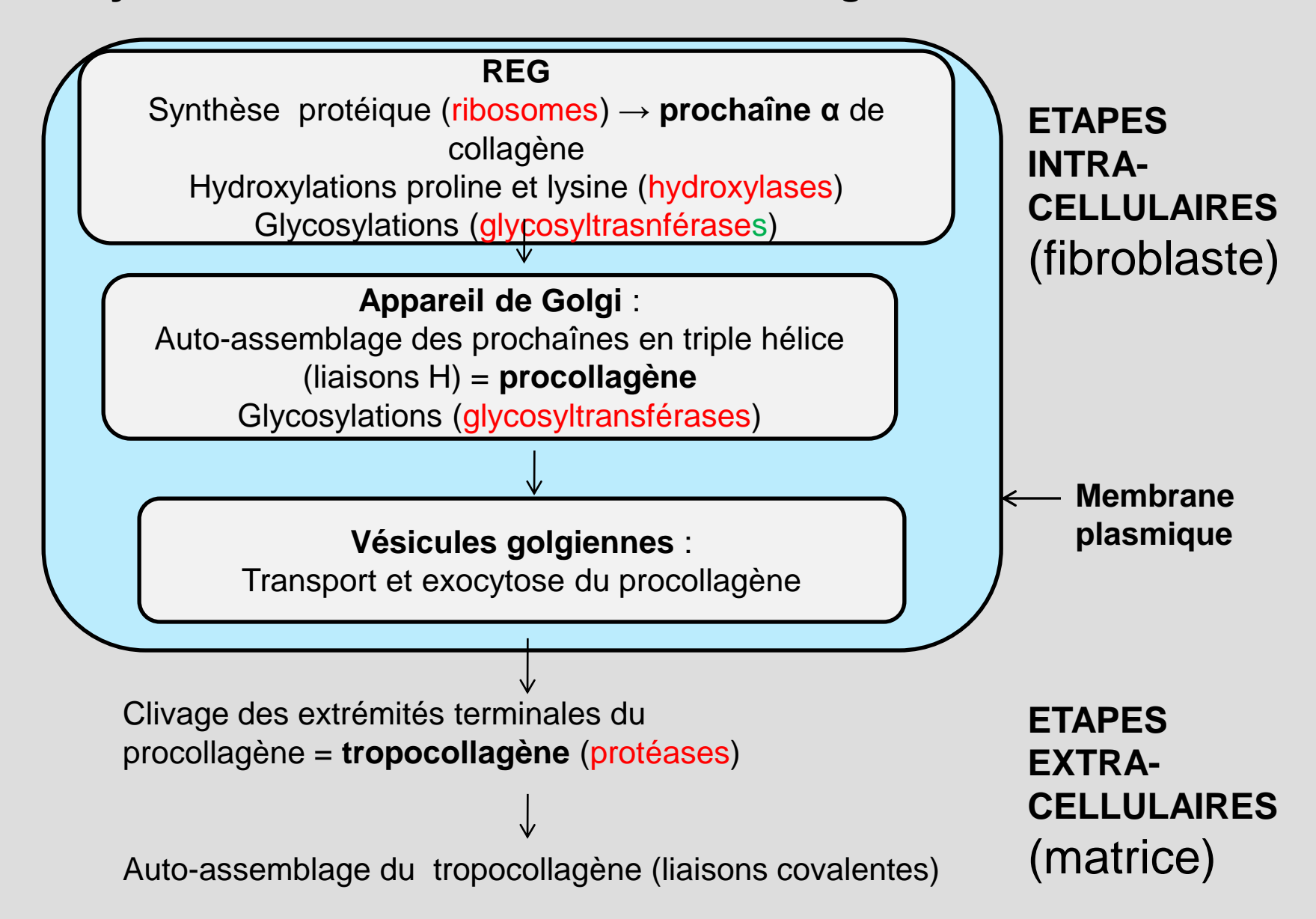
C-term.



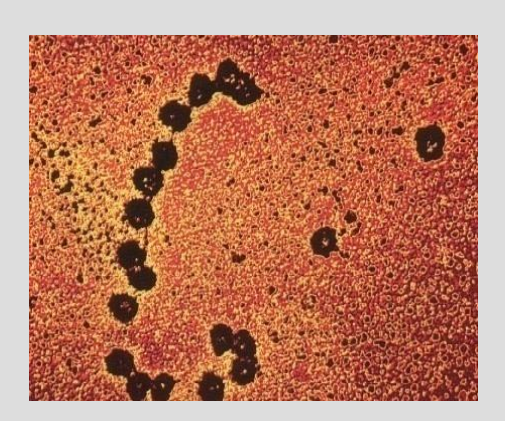
Étape 6 (espace

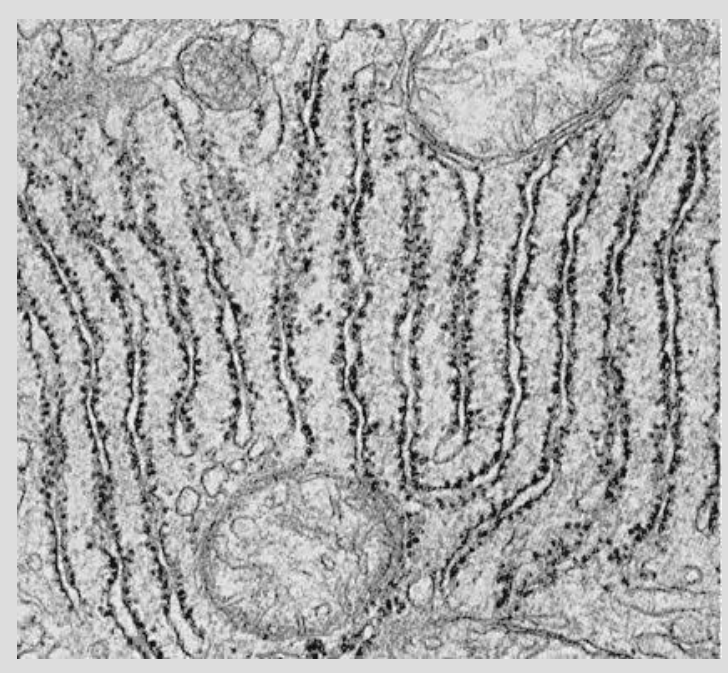
он он он extracellulaire) 1050 a.a.

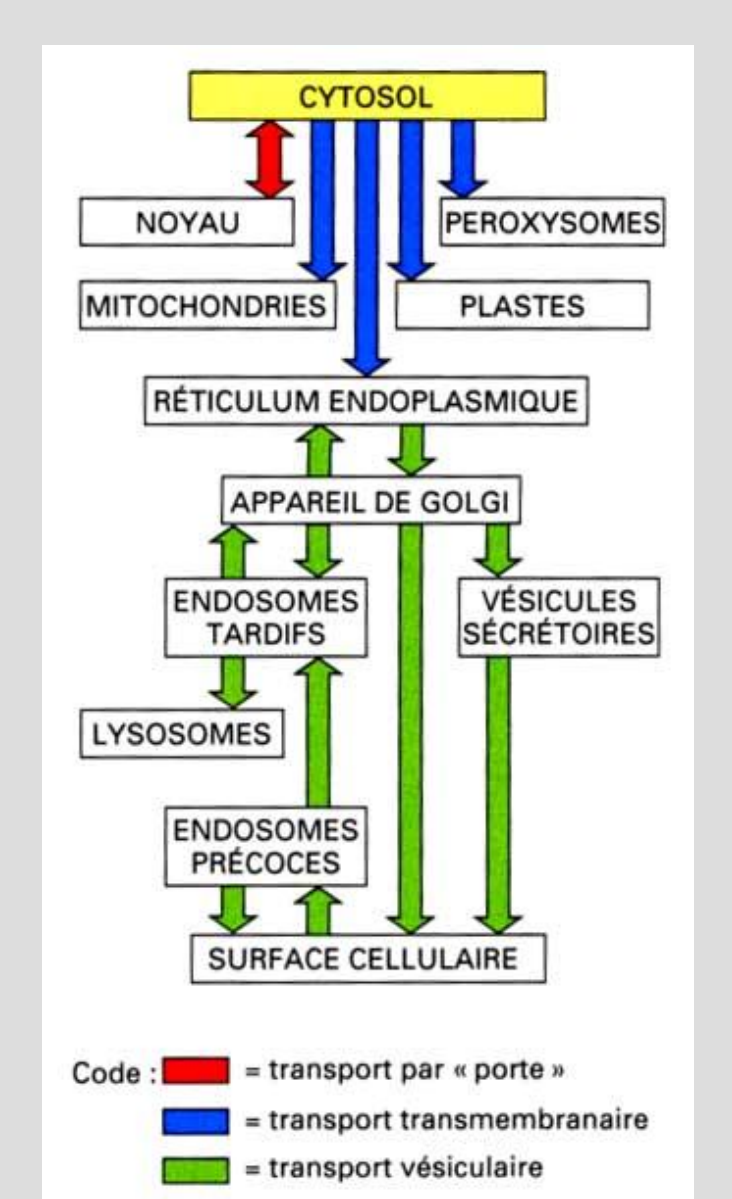
<u>Document 15</u>. Maturation dans le REG puis l'appareil de Golgi : exemple de la biosynthèse et de l'acheminement du collagène.



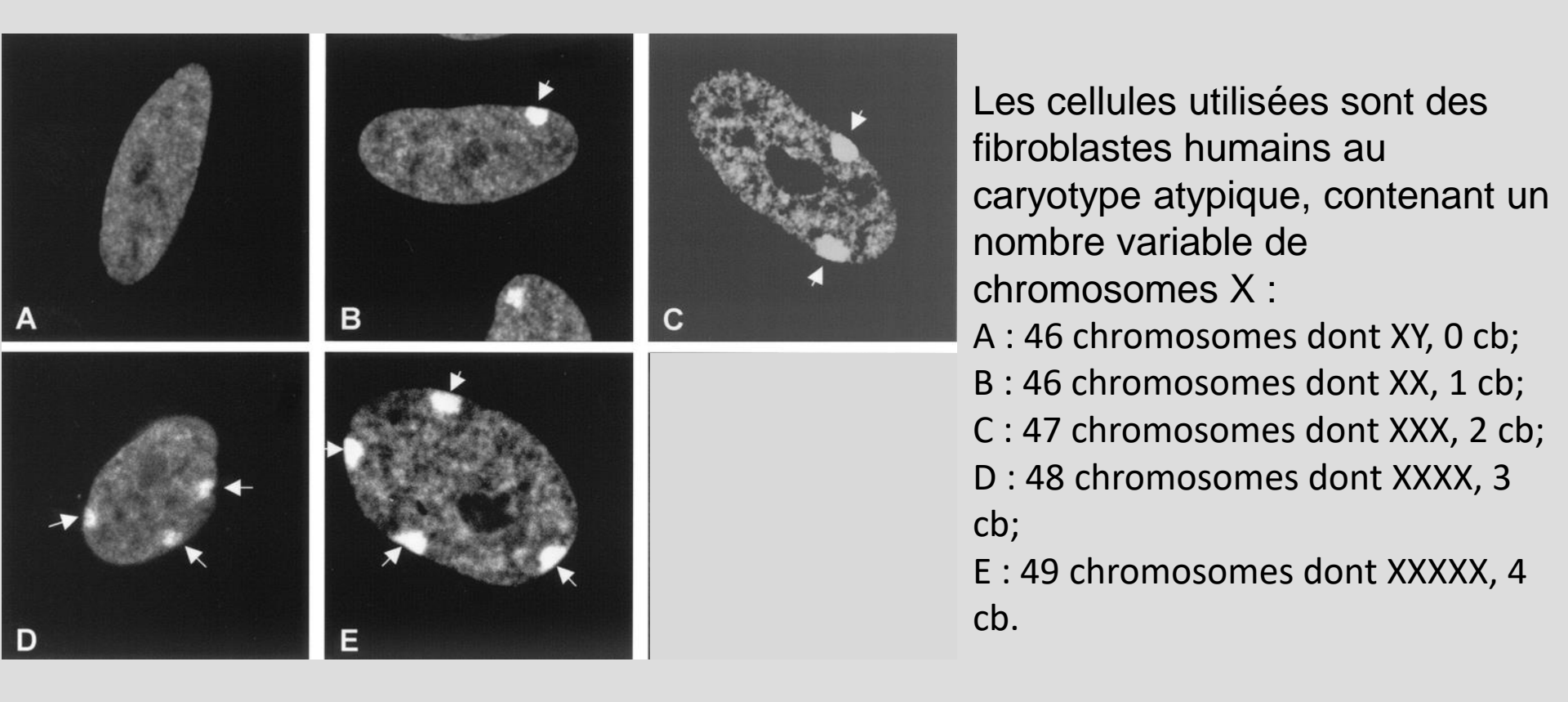
<u>Document 16</u>. Des lieux de synthèse des protéines vers leur lieu de fonctionnement.



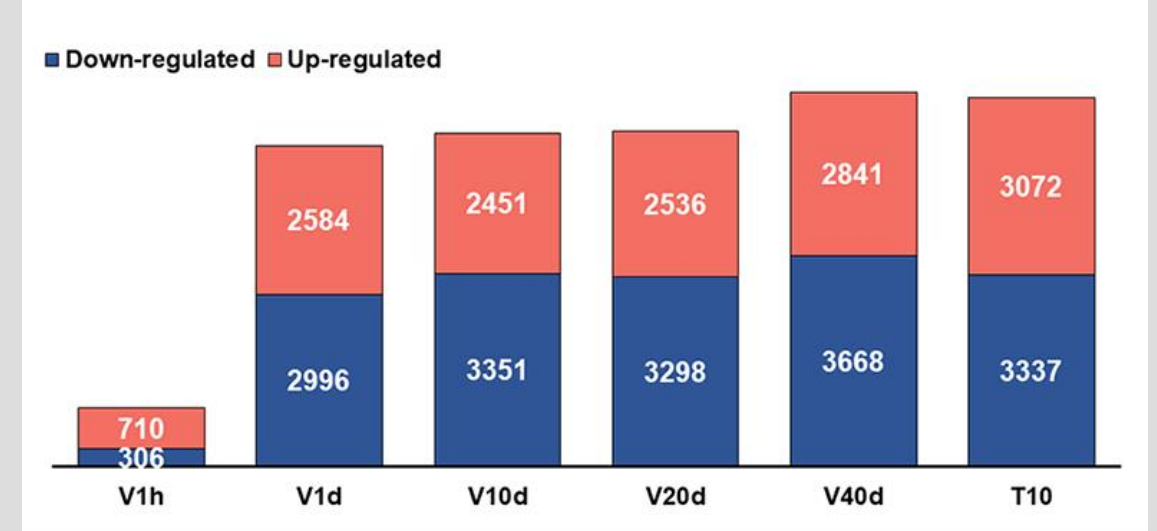




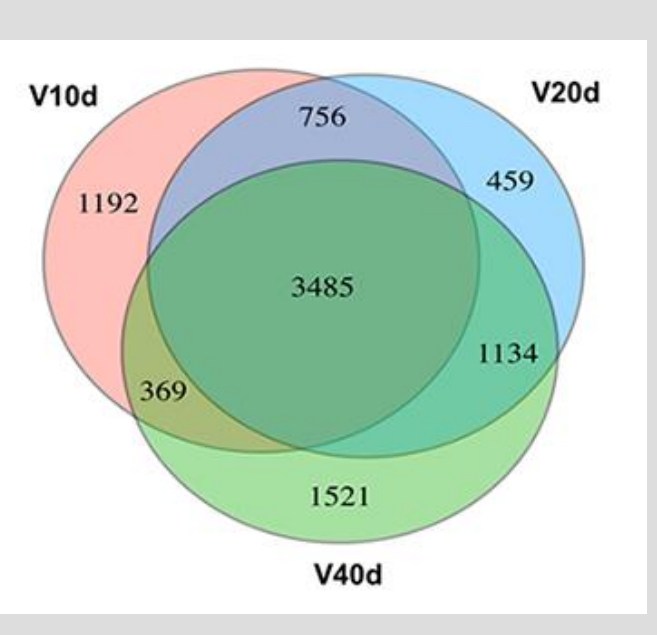
Mise en évidence du corpuscule de Barr par immunofluorescence



Présent dans le noyau des cellules des femelles de Mammifères, le corpuscule de Barr a été découvert en 1948 par le Docteur Barr. Il est localisé contre la face interne de l'enveloppe nucléaire. C'est de l'hétérochromatine qui correspond à l'un des deux chromosomes X inactivé, indifféremment d'origine maternelle ou paternelle.



Nombre de gènes dont le niveau d'expression change à la suite d'une exposition au froid, selon la durée de cette exposition.

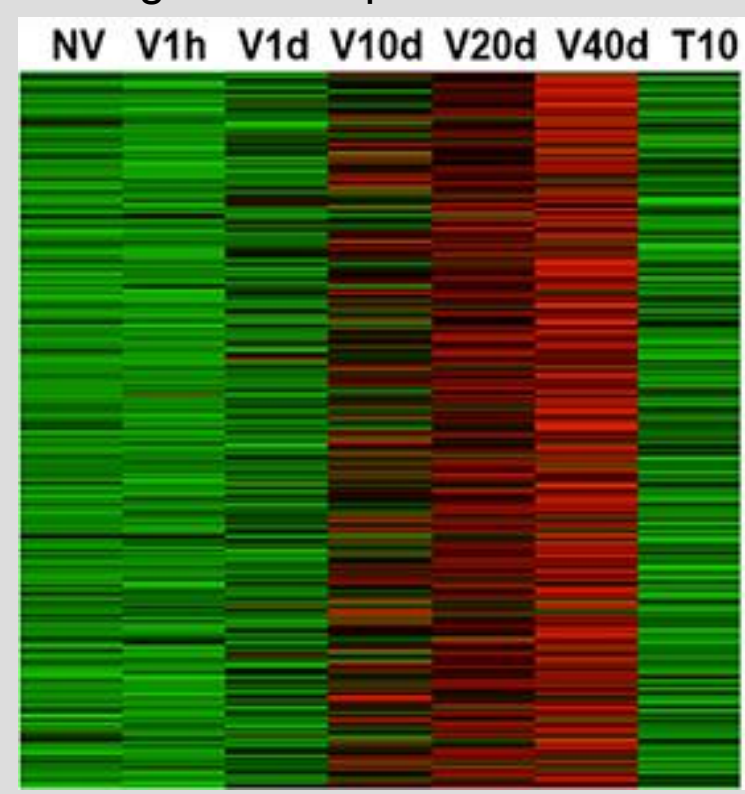


Nombre de gènes exprimés et coexprimés pour 10 j, 20 j ou 40 j d'exposition au froid.

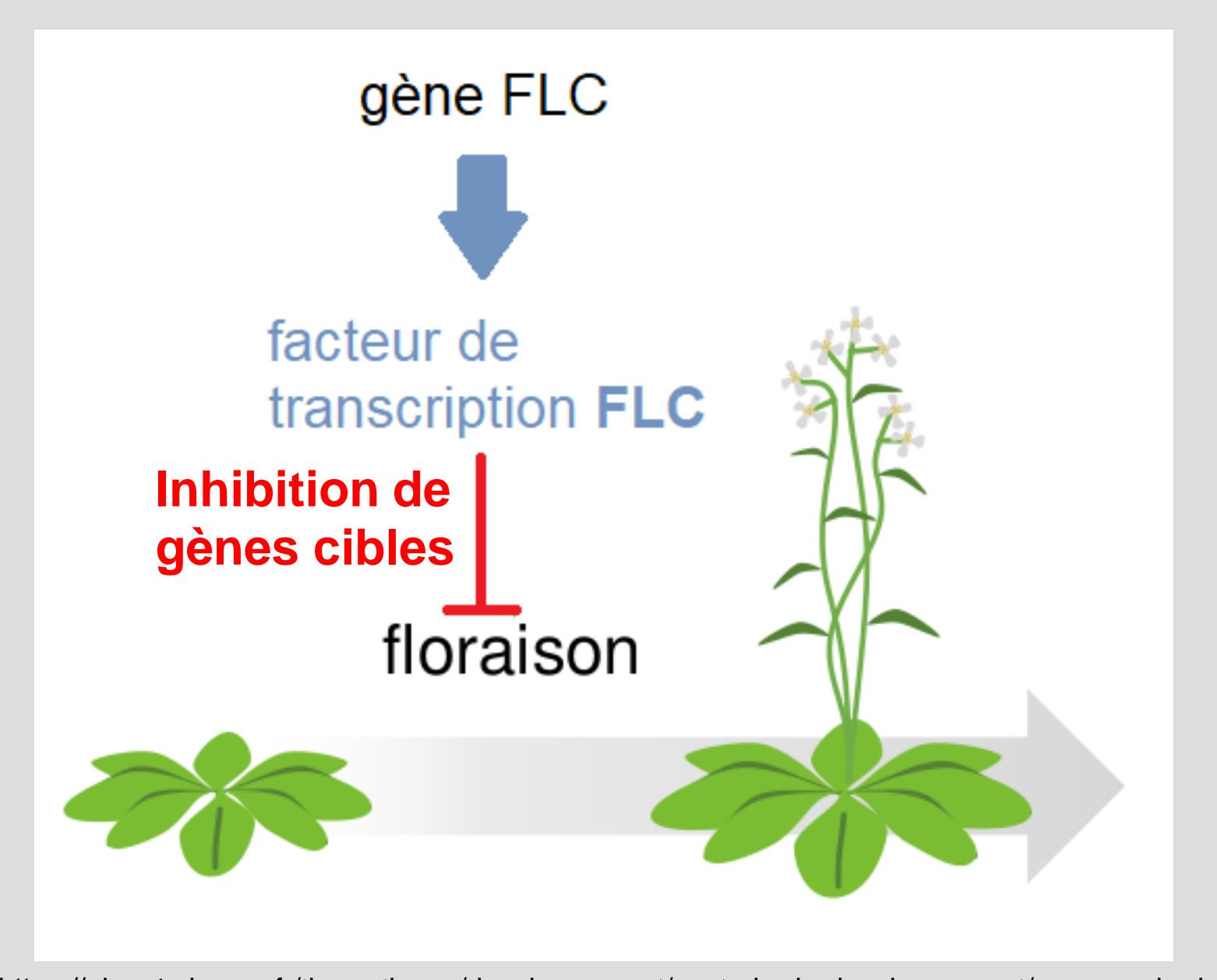
Effets de la vernalisation sur l'expression du génome d'*Arabidopsis thaliana*

Etude de l'expression d'un groupe de gènes en particulier.

En vert : sous-expression En rouge : sur-expression

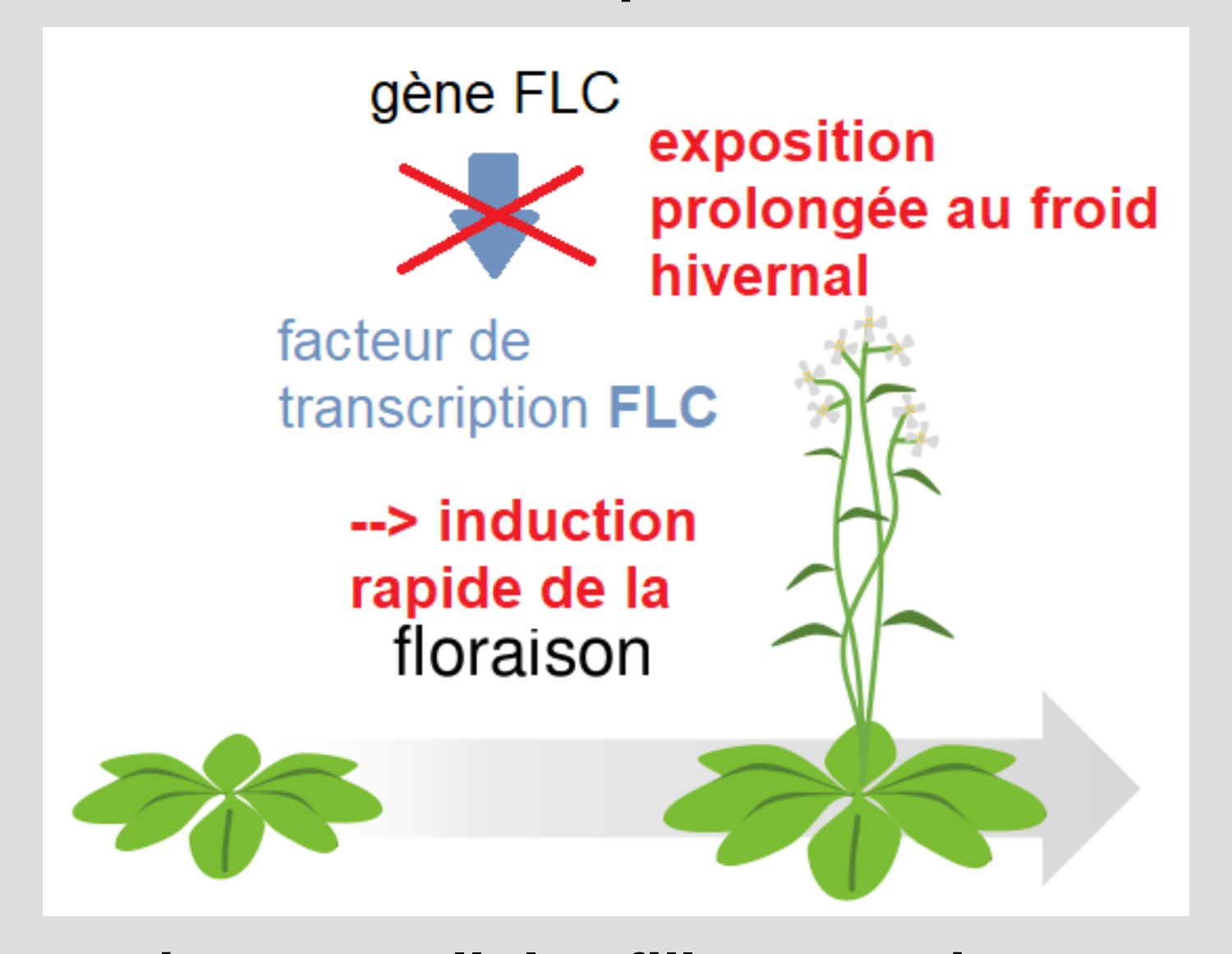


Effets de FLC sur la floraison d'Arabidopsis thaliana

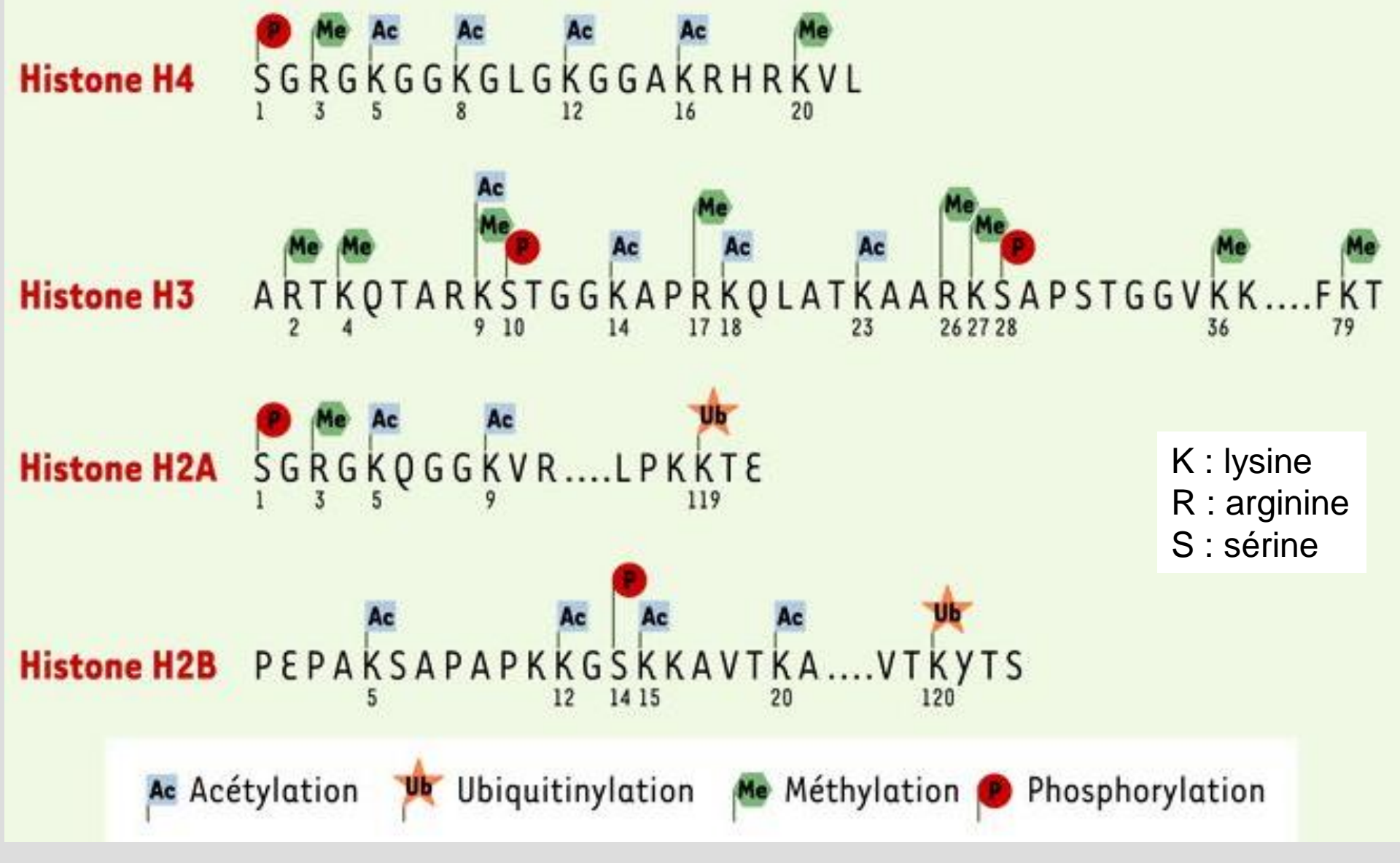


D'après https://planet-vie.ens.fr/thematiques/developpement/controle-du-developpement/comprendre-le-role-de-la-chromatine-dans-la

Inhibition de l'expression de FLC



- transmise aux cellules filles par mitose
- levée lors de la méiose

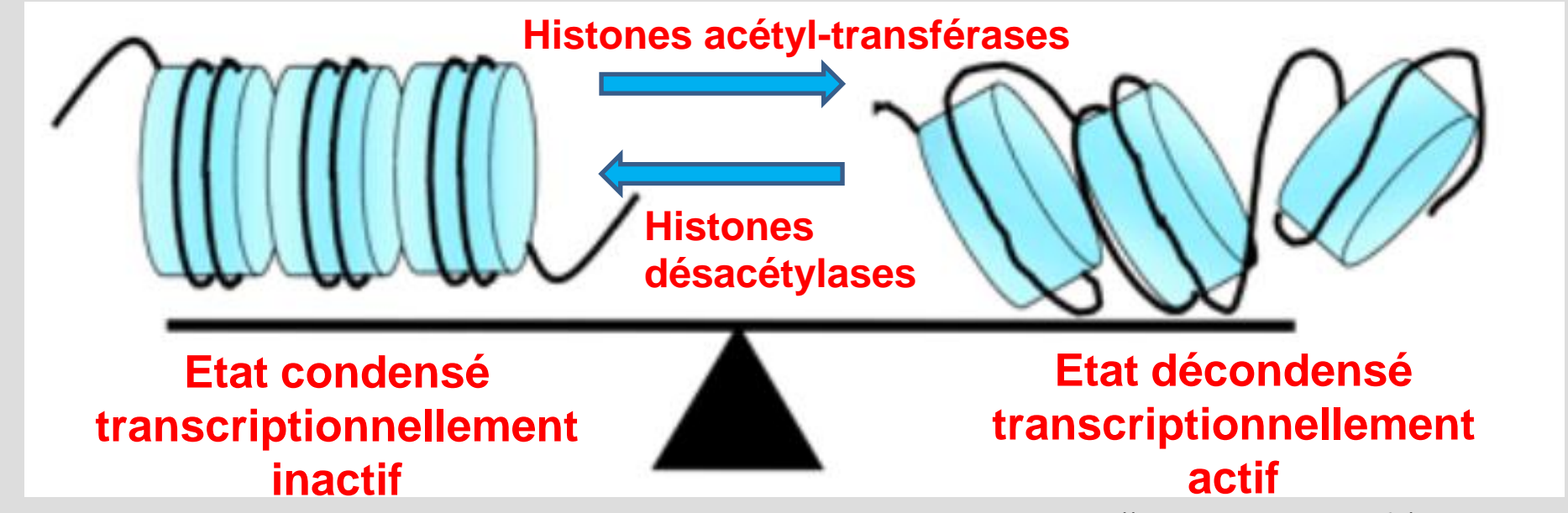


Les modifications post-traductionnelles des histones

La lysine 9 de l'histone H3 peut être soit acétylée, soit méthylée.

N. Lacoste, J. Côté, M/S: médecine sciences Vol 19, n°10, oct 2003, p. 955-959 http://www.erudit.org/revue/ms/2003/v19/n10/007166ar.html

L'acétylation / désacétylation des histones



E. [asparā(2004)

ΉN

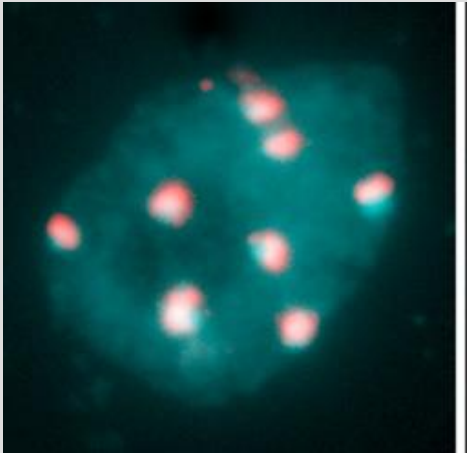
http://mon.univ-montp2.fr/claroline

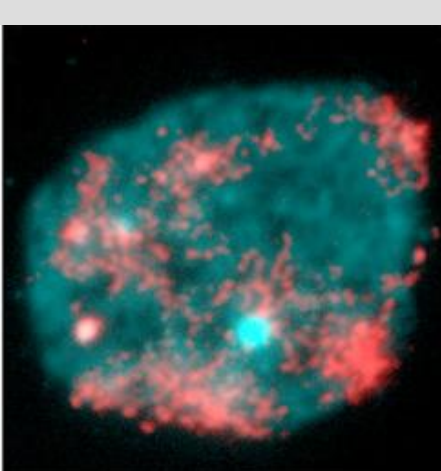
Effets de l'absence de méthylation CG











Effets de l'absence de méthylation CG sur des fleurs d'Arabidopsis thaliana.

A gauche: fleur sauvage.

<u>Au milieu</u>: l'absence de la méthylation CG conduit notamment à la formation d'étamines supplémentaires toutefois ces plantes restent fertiles.

<u>A droite</u>: dans des mutants déficients pour les mécanismes de sauvetage déclenchés en l'absence de méthylation CG, l'organisation florale est profondément bouleversée et ces plantes sont totalement stériles.

Effets de l'absence de méthylation CG sur la structure de noyaux de cellules de feuille d'A. thaliana.

<u>A gauche</u>:architecture habituelle, les séquences hétérochromatiques (en rouge) sont compactées.

<u>A droite</u>: forte relaxation de l'hétérochromatine consécutive à l'absence de méthylation CG pendant plusieurs générations successives.

http://www.cnrs.fr/insb/recherche/parutions/articles07/olivier-mathieu.htm

La méthylation de l'ADN est contrôlée

Comment l'abeille devient reine

On comprend pourquoi la gelée royale fait que certaines larves deviennent des reines et d'autres des ouvrières.

e grande taille, lente à se mouvoir, la reine d'une colonie d'abeilles passe l'essentiel de sa vie-quatre à cinqans à pondre, choyée par sa cour. Les



ouvrières, au contraire, petites, agiles et stériles ne vivent que quelques semaines. Pourtant, la reine et les ouvrières sont génétiquementidentiques. Comment un même génome peut-il produire des individus si différents? Une équipe germano-australienne vient d'éclairer les mécanismes moléculaires en jeu.

On savait l'alimentation en jeu: les larves élevées comme de futures reines et la reine survivante (après avoir éliminé ses rivales) sont nourries exclusivement de gelée royale. Les autres larves, qui deviendront des ouvrières, sont nourries surtout de miel et de pollen.

En 2008, l'équipe de Sylvain Forêt et Ryszard Maleszka, de l'Université de Canberra, en Australie, amontré que la suppression d'une enzyme, l'ADN méthyletransiérase, chez des larves nourries pour devenir ouvrières, fait qu'elles se développent en reines écondes: supprimer cette enzyme a le même effet que la gelée royale. Cette enzyme étant nécessaire à la méthylation de l'ADN, c'est-àdire à l'ajout de groupes méthyle sur certaines bases (des cytosines) de l'ADN, la gelée royale apporte vraisemblablement des substances inhibant ce processus, dit épigénétique.

Supposant que les gènes ne s'expriment pas de la même façon chez la reine et les ouvrières, ces biologistes associés à un groupe du Centre allemand de recherche sur le cancer, à Heidelberg, ont séquencé les génomes de reines et d'ouvrières et identifié tous les sites méthylés de l'ADN. Ils ont observé que quelque 560 gènes étaient méthylés différemment. La méthylation paraît réguler le type et la quantité des protéines produites chez une reine et chez une ouvrière.

Comment les enzymes de méthylation repèrent-elles les cytosínes cibles parmi les dix millions de sites possibles chez l'abeille? On l'ignore, mais un mécanisme expliquant les différences entre reines et ouvrières se dessine: la présence ou l'absence de gelée royale détermine différents profils de méthylation de leur ADN. En ajustant l'expression de certains gènes, ces profils doment lieu à des caractéristiques anatomiques, physiologiques et comportementales distinctes.

→ Jean-Jacques Perrier

La gelée royale contient des substances qui inhibent la méthylation de certains gènes : la larve se développe en reine

8] Actualités

© Pour la Science - n° 398 - Décembre 2010

F. Luko et al., PloS Biology, vol. 8, r1000506, 2010

Pères gras, filles diabétiques?

L'alimentation du père entraîne des variations de la méthylation de gènes dans les spermatozoïdes, ce qui exerce des effets dans la génération suivante



L'empreinte de l'environnement sur les gènes se transmettrait des pères à leurs filles.

hez l'animal, des mères obèses durant la gestation et la lactation enfantent plus souvent que la normale des petits atteints eux-mêmes d'obésité ou de maladies métaboliques à l'âge adulte. Le surpoids des pères a-t-il aussi un effet sur la descendance? Probablement, montre l'équipe de Margaret Morris, de l'Université des Nouvelles Galles du Sud, à Sydney: des felles derats sont plus souvent atteintes de diabète si leur géniteur a été nourri trop grassement.

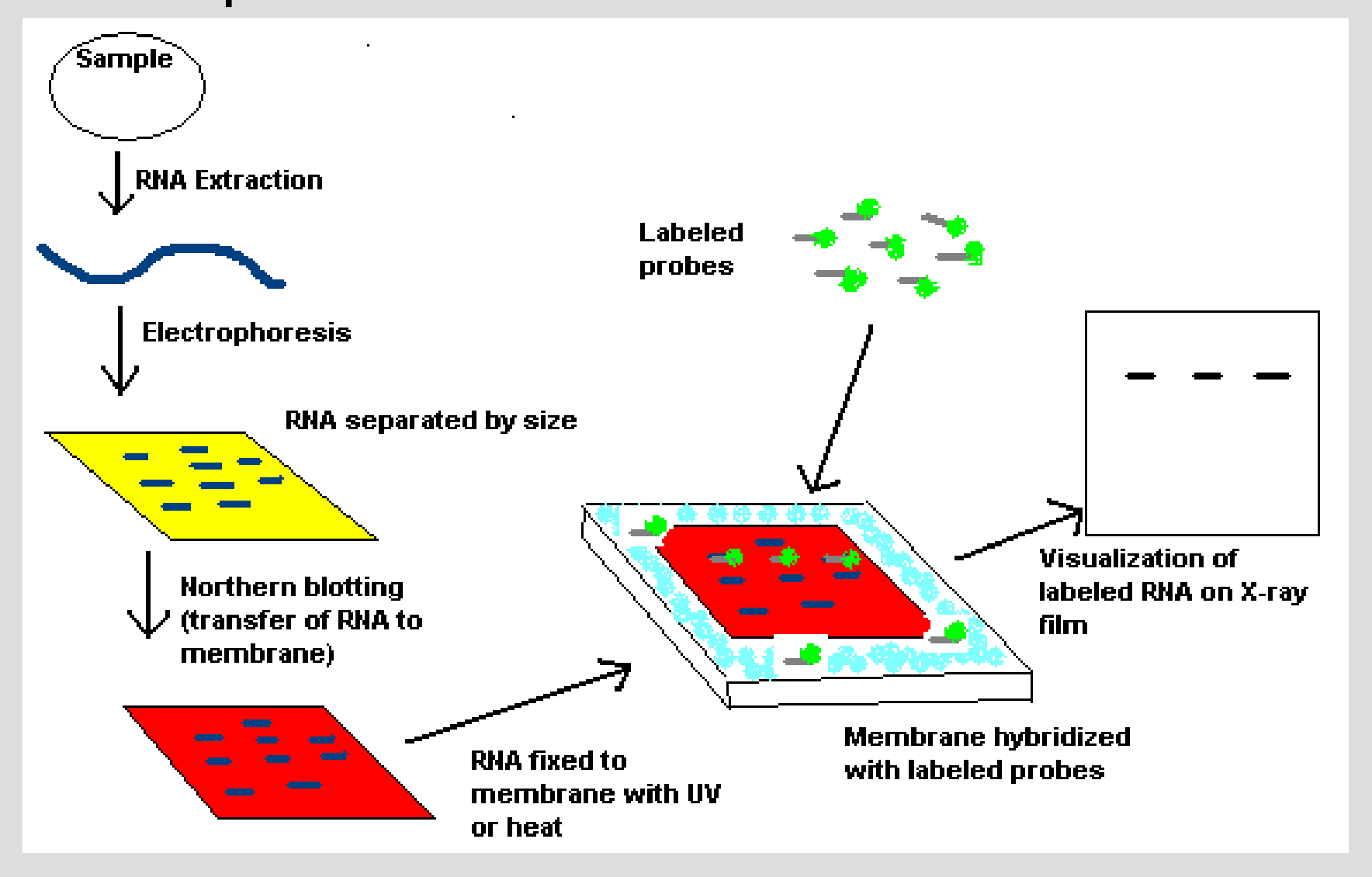
Les chercheurs australiens ont soumis neuf rats mâles à un régime hypergras dès leur quatrième senaine, et huitrats contrôles à un régime normal, puis les ont mis chacun en présence d'une femelle nourrie normalement, pour qu'ils se reproduisent. Les descendants femelles ainsi obtenus ont présenté, à partir de quaire semaines, deux signes de diabète dont l'intensité aaugmenté avec l'âge. La cause en était la réduction du volume des îlots de Langerhans, qui, dans le pancréas, produisent l'insuline. De plus, l'expression de plusieurs centaines de gènes y était anormale.

Ces résultats suggèrent que des changements chimiques, dits épigénétiques, sont intervenus dans l'ADN des spermatozoides des pères: des variations de la méthylation de l'ADN (la fixation de groupes méthyleen différents sites de la molécule), qui perturbent l'expression de certains gènes. Ainsi, enmodifiant l'expression des gènes paternels, l'alimentation exercerait des effets d'une génération de rats à la suivante. Chez l'homme, il est vraisemblable que des facteurs liés au mode de vie influent aussi sur la régulation épigénétique et l'expression des gènes.

→ J.-J. P.

S.-F. Ng et al., Nature, vol. 467, pp. 963-967, 2010

Technique de Northern blot ou transfert d'ARN

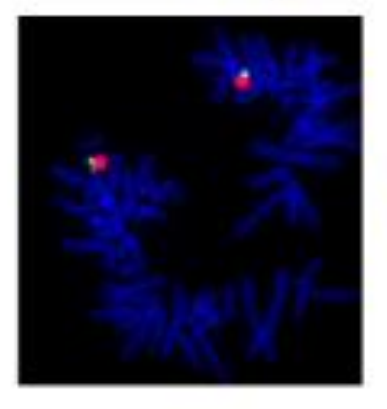


Elle consiste à transférer les molécules à analyser sur un support solide (par exemple, une membrane de nitrocellulose ou de nylon) puis à utiliser une sonde spécifique ARN de la cible recherchée.

Définition de l'hybridation in situ

= révélation in situ d'une séq. d'acide nucléique dans une cellule

L'HIS consiste à repérer donc identifier et localiser une portion ± grande d'un acide nucléique.

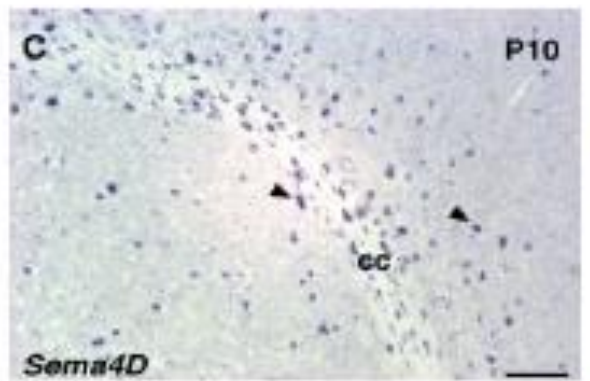


Chromosomes Interphasiques (FISH)

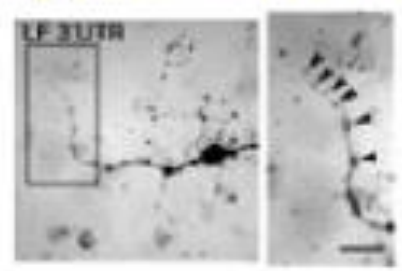


d die

Un organisme entier de petite taille



Une préparation histologique



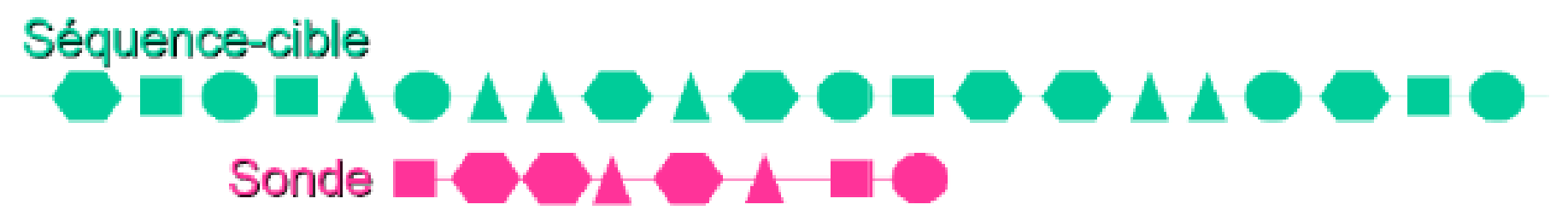
Cellules en culture



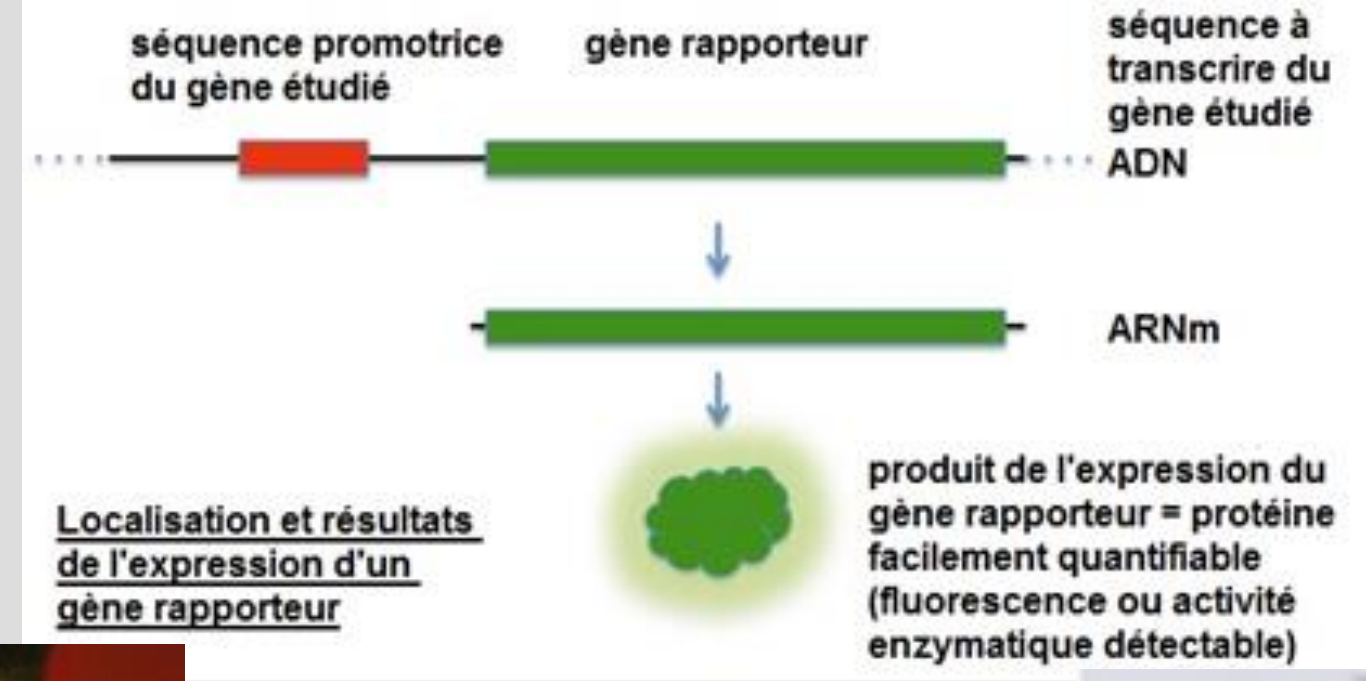
Présence d'ARNm témoignant de la transcription du gène correspondant

Principe de l'HIS:

- Repose sur la propriété qu'ont 2 séquences nucléiques complémentaires de s'apparier de façon spécifique avec une affinité extrêmement forte.
- acide nucléique marqué : « sonde »
- acide nucléique recherché : « séquence-cible »

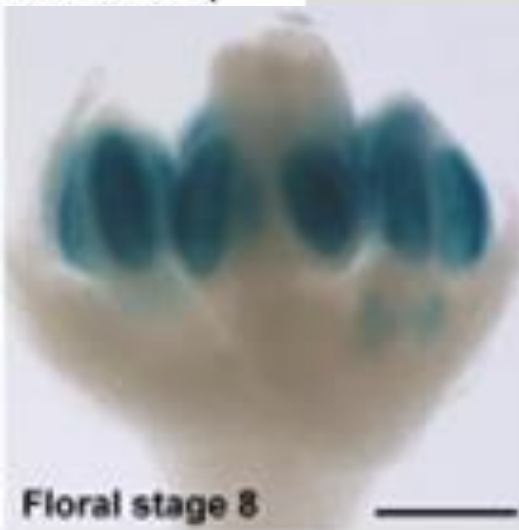


 ARNm = structure monocaténaire enchaînement de 4 ribonucléotides monophosphate (adénosine, guanosine, uridine et cytidine)





Analyse de la transcription à l'aide des gènes rapporteurs

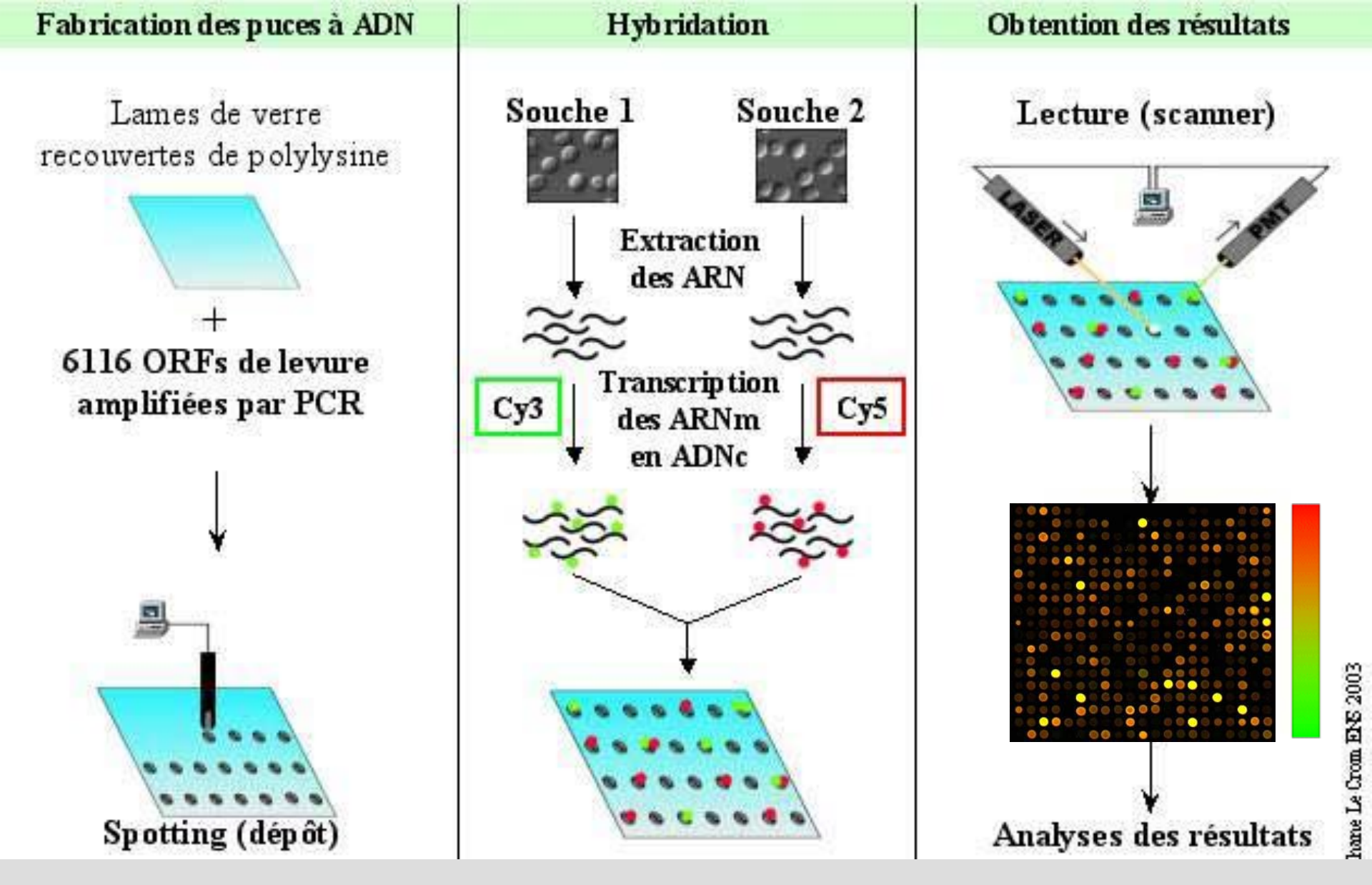


Lucie, souris transgénique exprimant le gène de la GFP.

Laboratoire de Biologie Animale, (Université de Limoges http://www.unilim.fr)

Fleur d'A. thaliana en cours de développement.

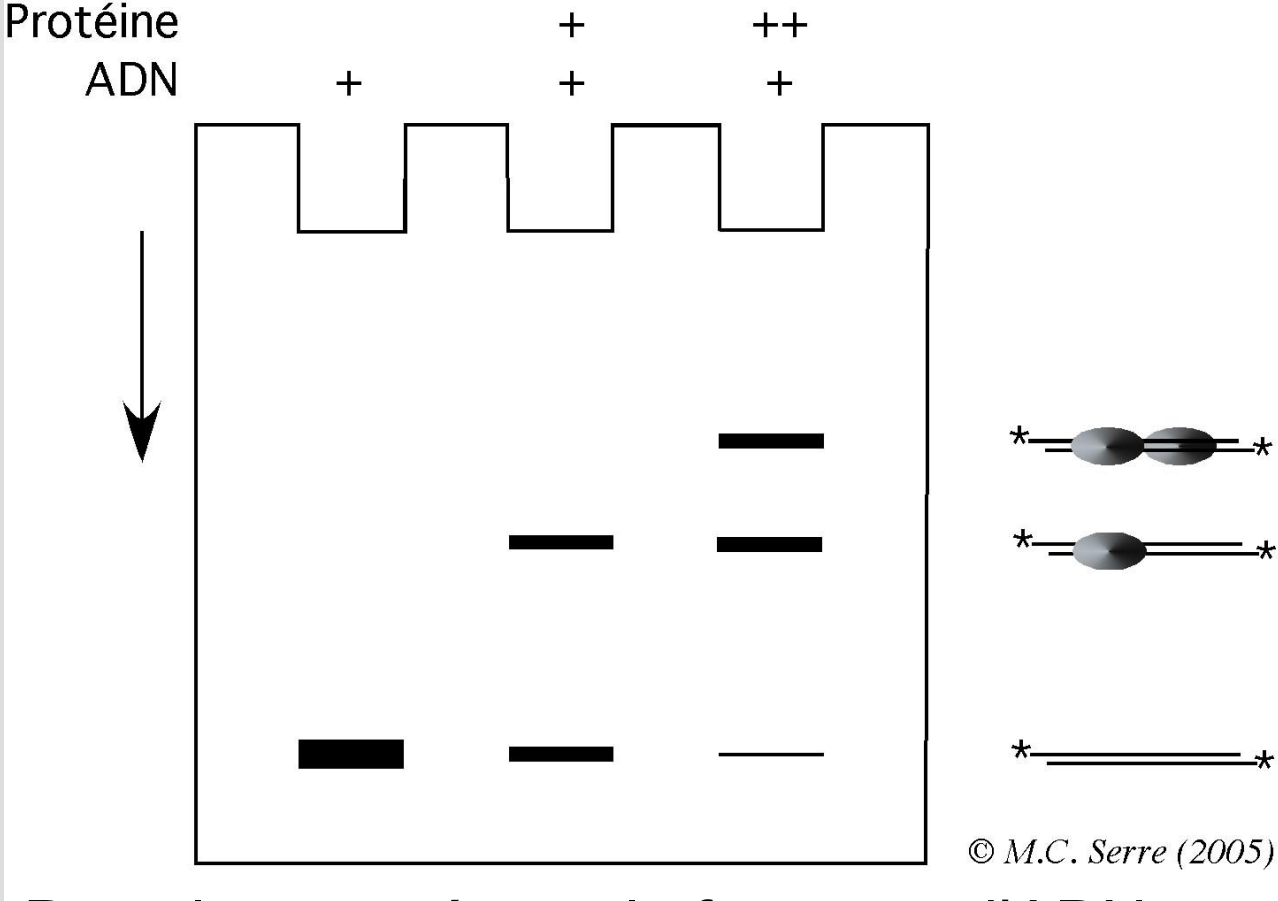
Le gène GUS a été inséré après le promoteur du gène dont on étudie le rôle. Barre d'échelle = 100 µm. (http://www.biomedsearch.com/nih/Arabidopsis-bZIP-transcription-factors-TGA9/20805327.html)



Le principe de la puce à ADN

Technique de retardement sur gel

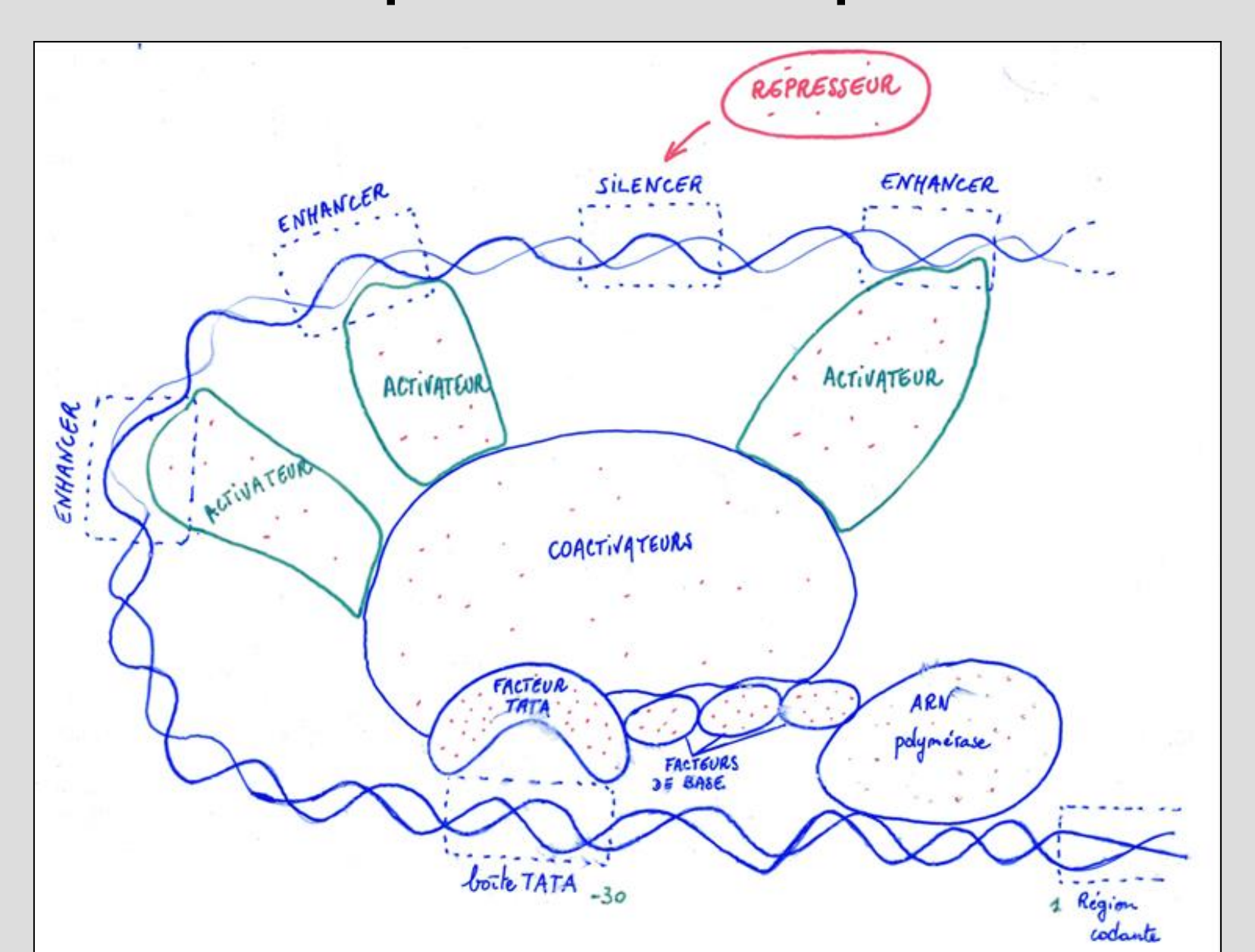
Un complexe ADNprotéine ou ARNprotéine migre moins vite sur un gel qu'un ADN ou un ARN nu. Ce retard de migration permet de juger au premier coup d'oeil si une séquence particulière d'ADN ou d'ARN a été reconnue et liée par une protéine.



Dans le cas présent, le fragment d'ADN porte deux sites de fixation de la même protéine. Selon la concentration en protéine de la solution, le second complexe apparaît ou pas.

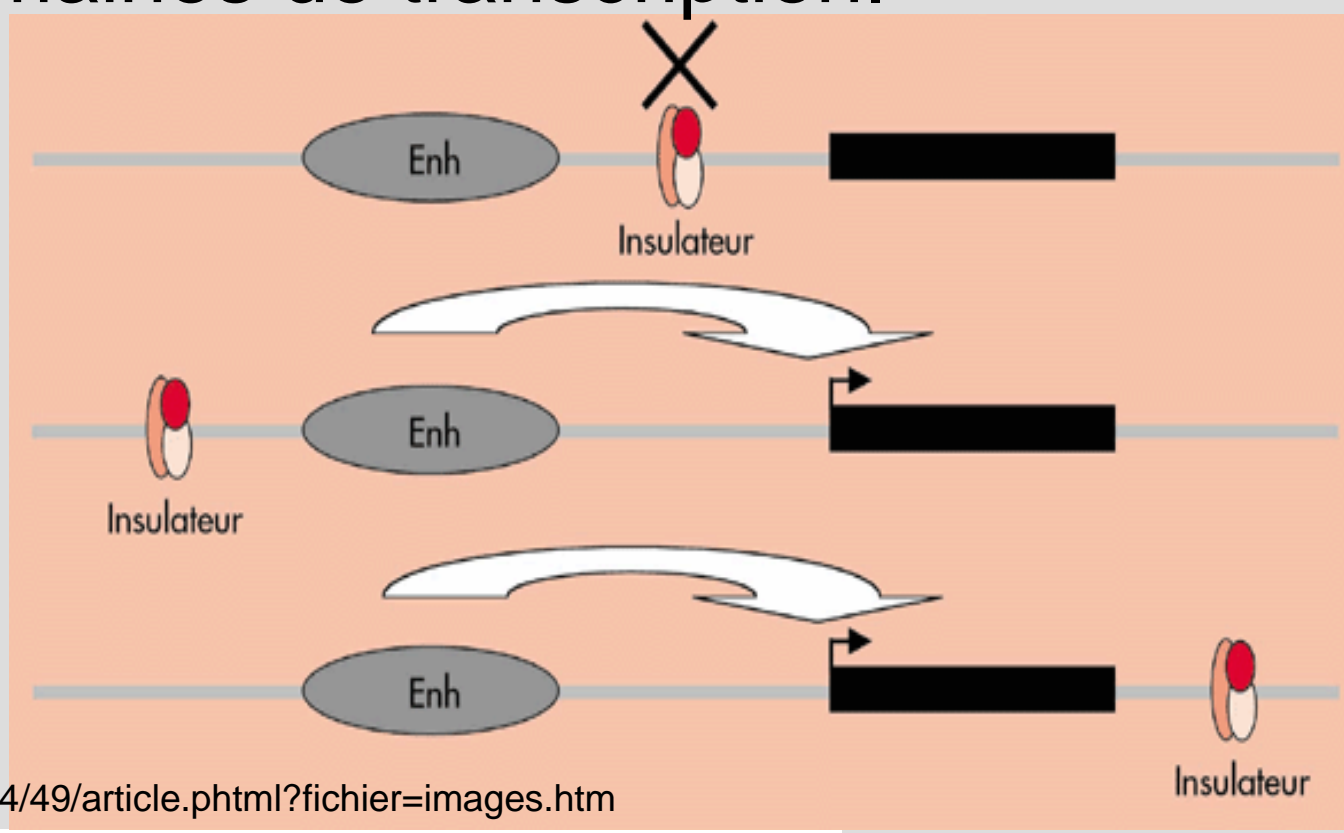
http://www.igmors.upsud.fr/enseignement/mcserre/Cour s-IPAN/cours-IPAN.html

Document 19. Contrôle exercé au niveau du complexe de transcription.

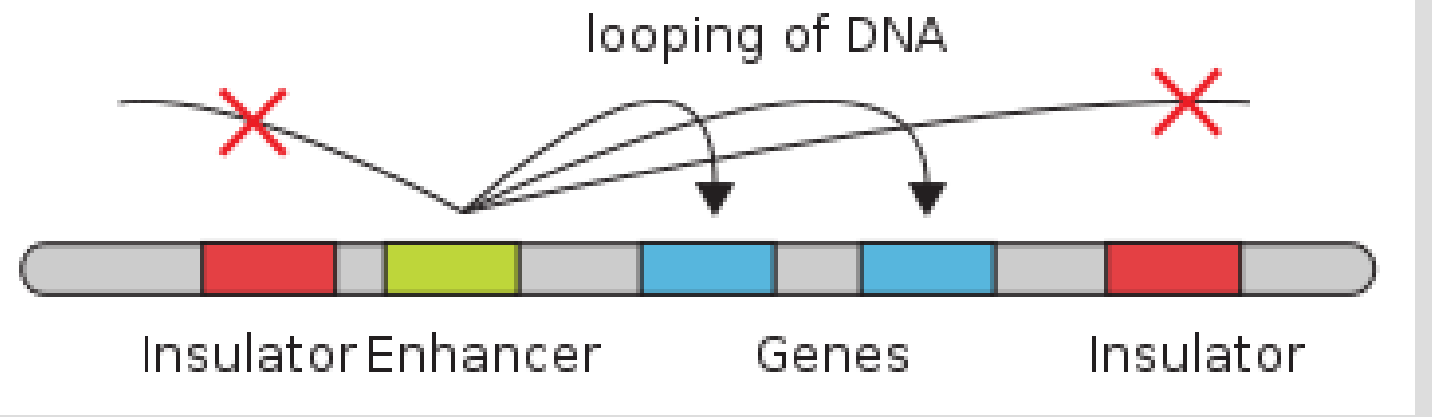


Document 20. Séquences insulateurs et domaines de transcription.

L'insulateur « protège » un gène (en noir) de l'action d'un enhancer uniquement s'il est situé entre ce gène et l'enhancer.

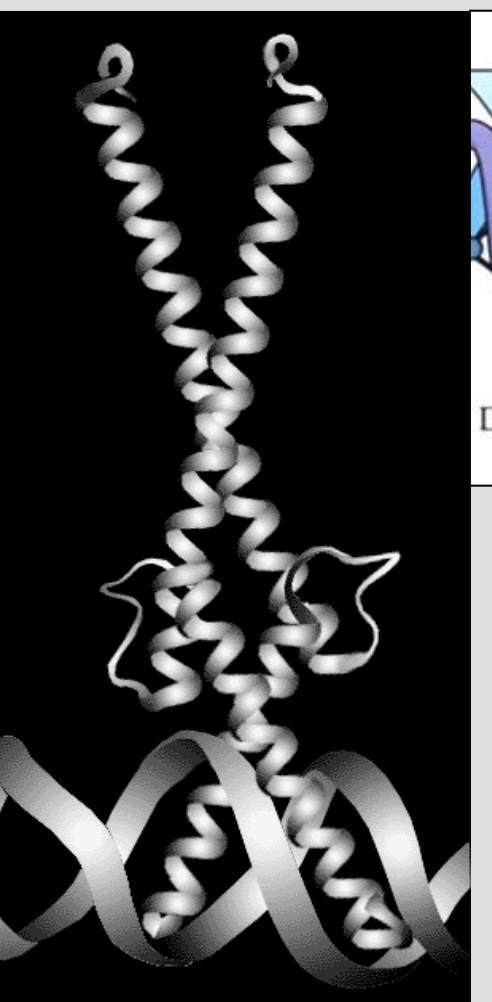


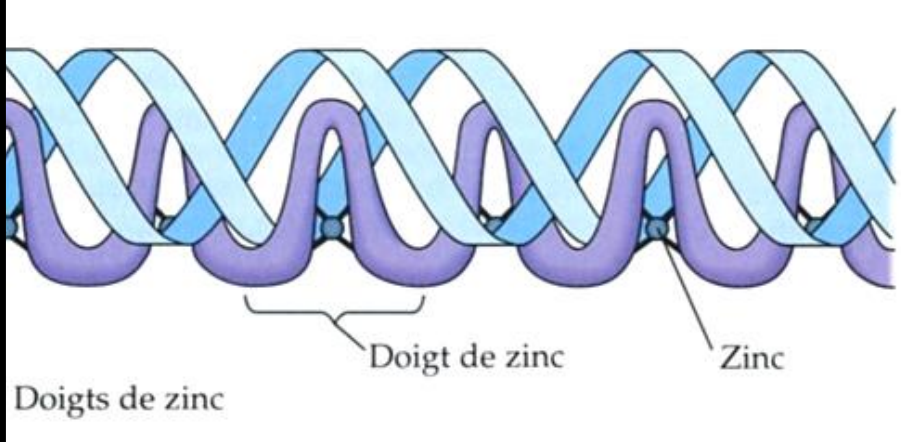
http://www.jle.com/e-docs/00/02/24/49/article.phtml?fichier=images.htm



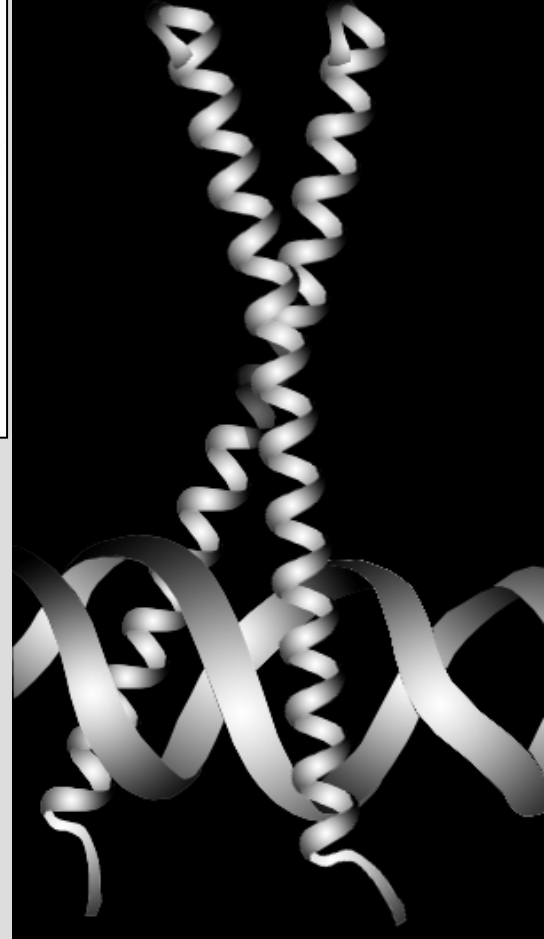
Les insulateurs délimitent des domaines de transcription.

Quelques motifs communs des protéines qui se lient à l'ADN (voir <u>document 21</u>).

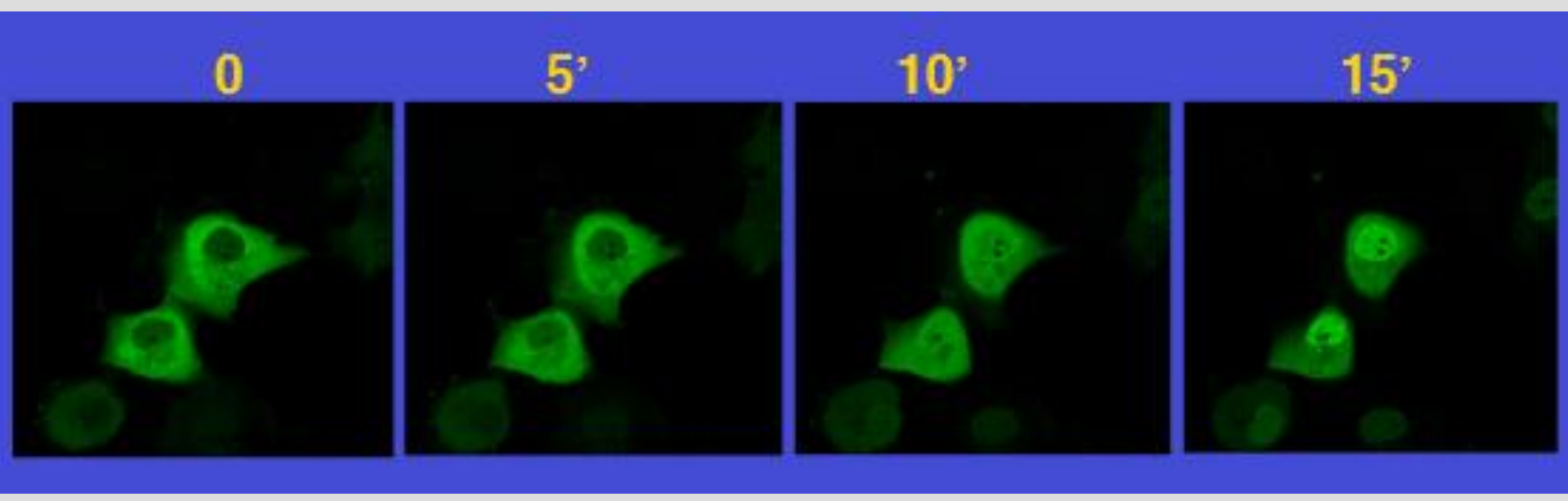


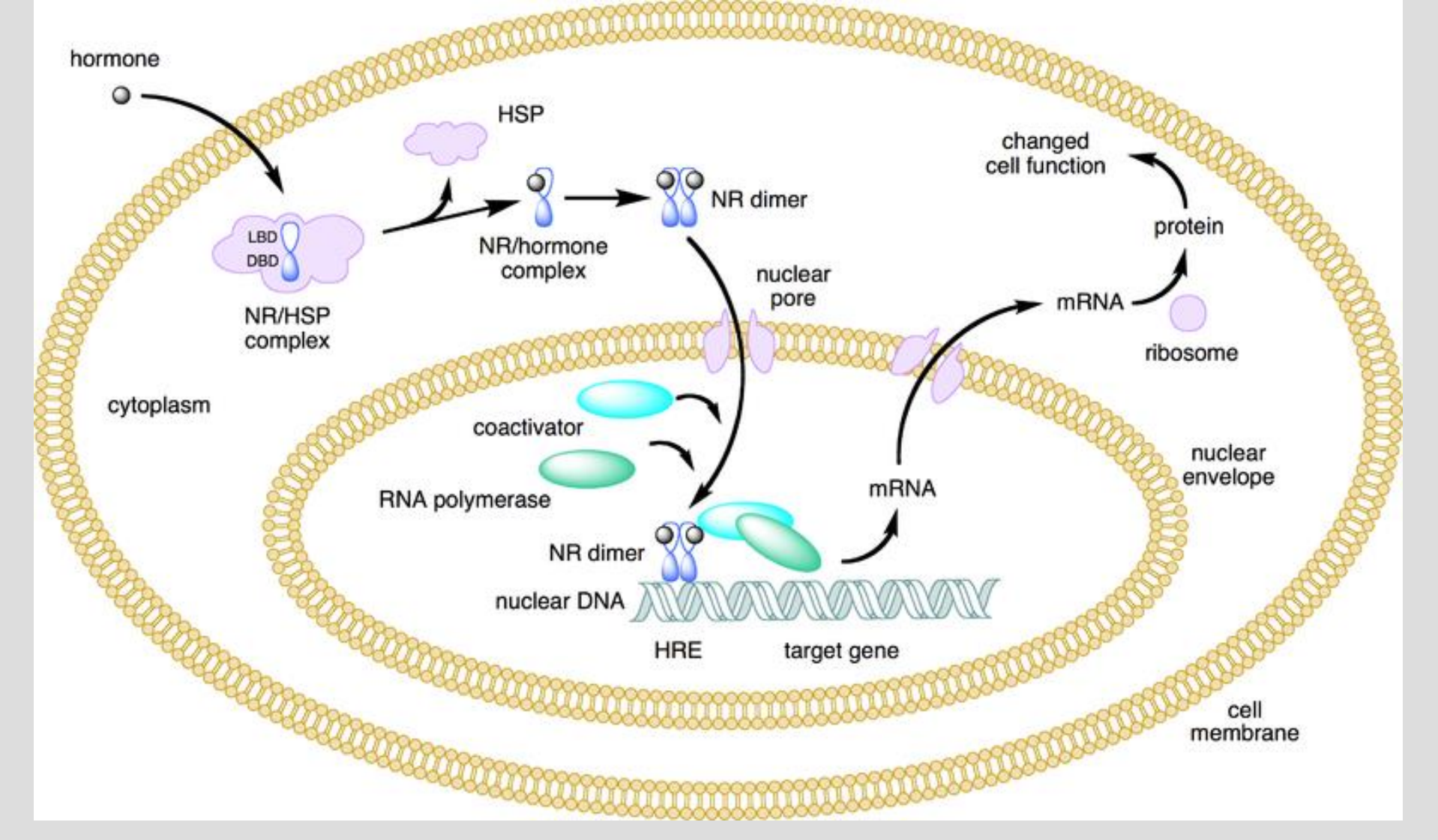


A gauche: domaine de liaison à motif hélice – boucle – hélice Au centre: domaine de liaison à motif en doigts de zinc A droite: domaine de liaison à motif fermeture à glissière de leucines.



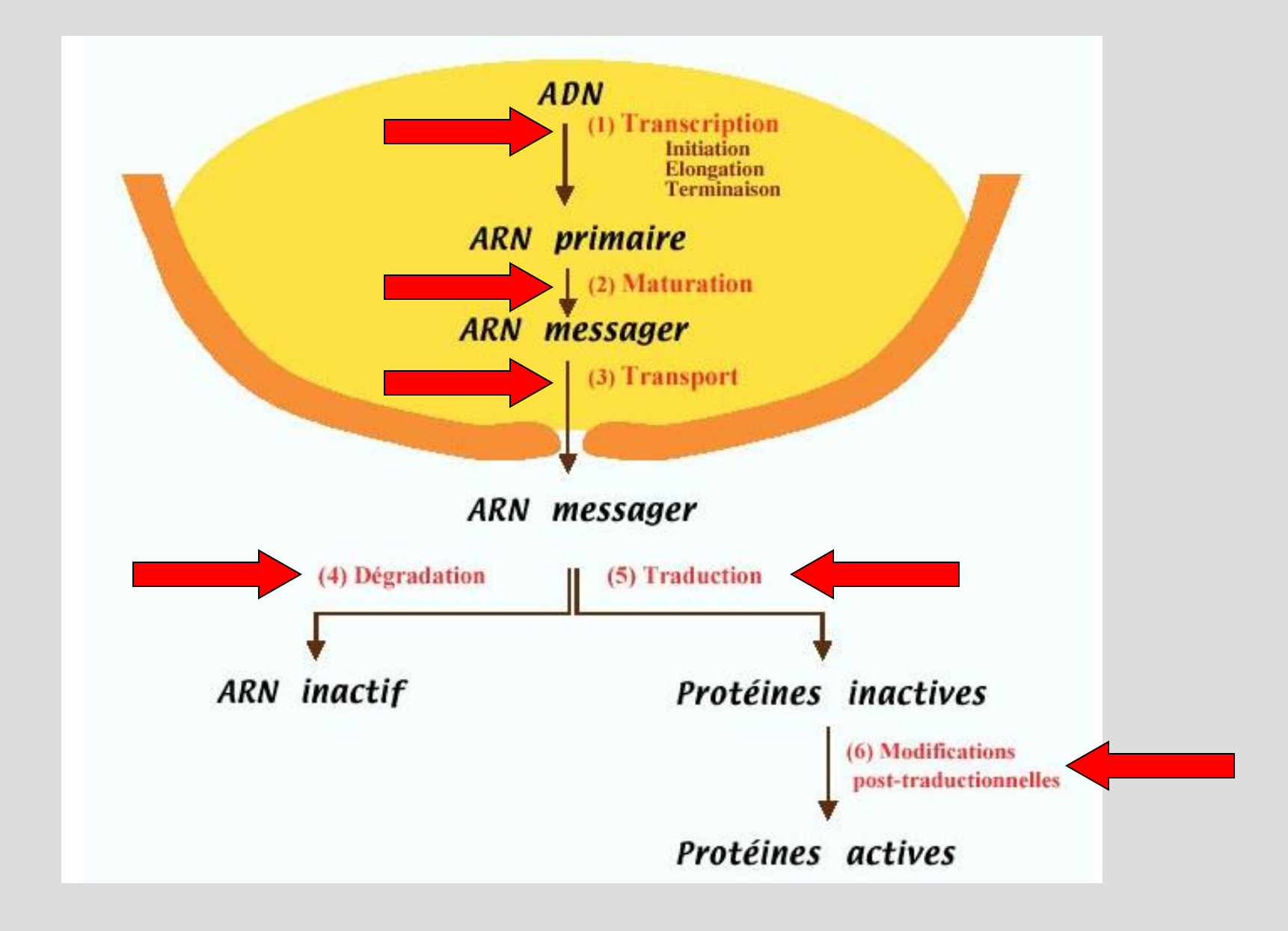
Mise en évidence de l'importation dans le noyau d'un récepteur nucléaire suite à la liaison avec une hormone stéroïdienne.



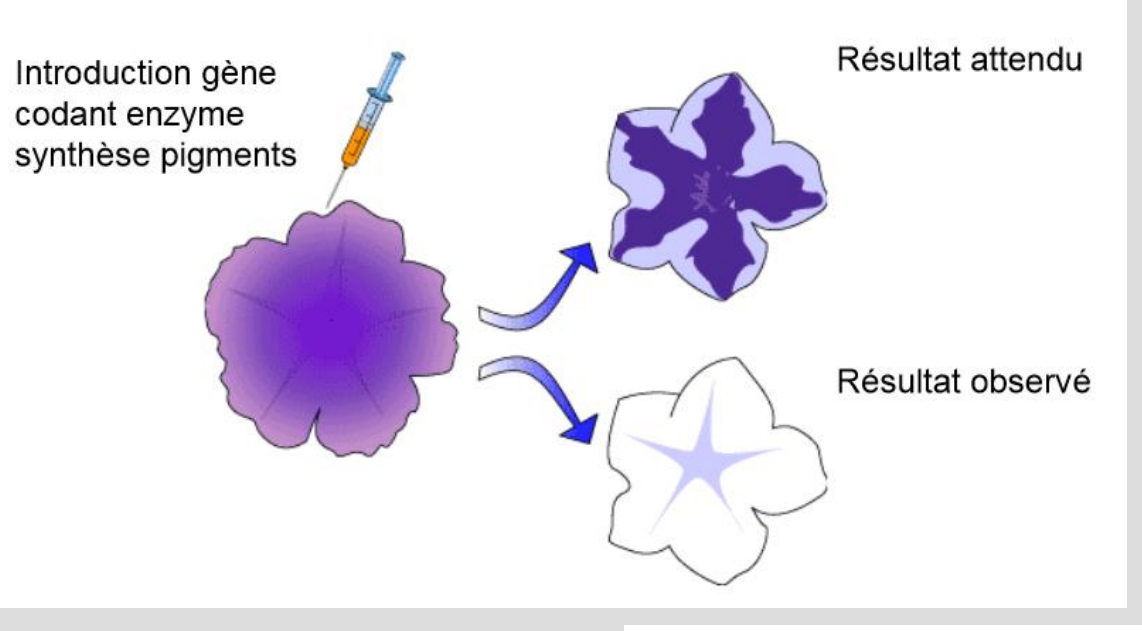


Régulation de la transcription via un facteur de transcription ligand dépendant : le récepteur nucléaire au hormones stéroïdes.

http://www.u-picardie.fr/servlet/com.univ.utils.LectureFichierJoint?CODE=1225182978501&LANGUE=0



Document 22. Les différents niveaux de contrôle de l'expression des gènes chez les Eucaryotes.



Les ARN interférents

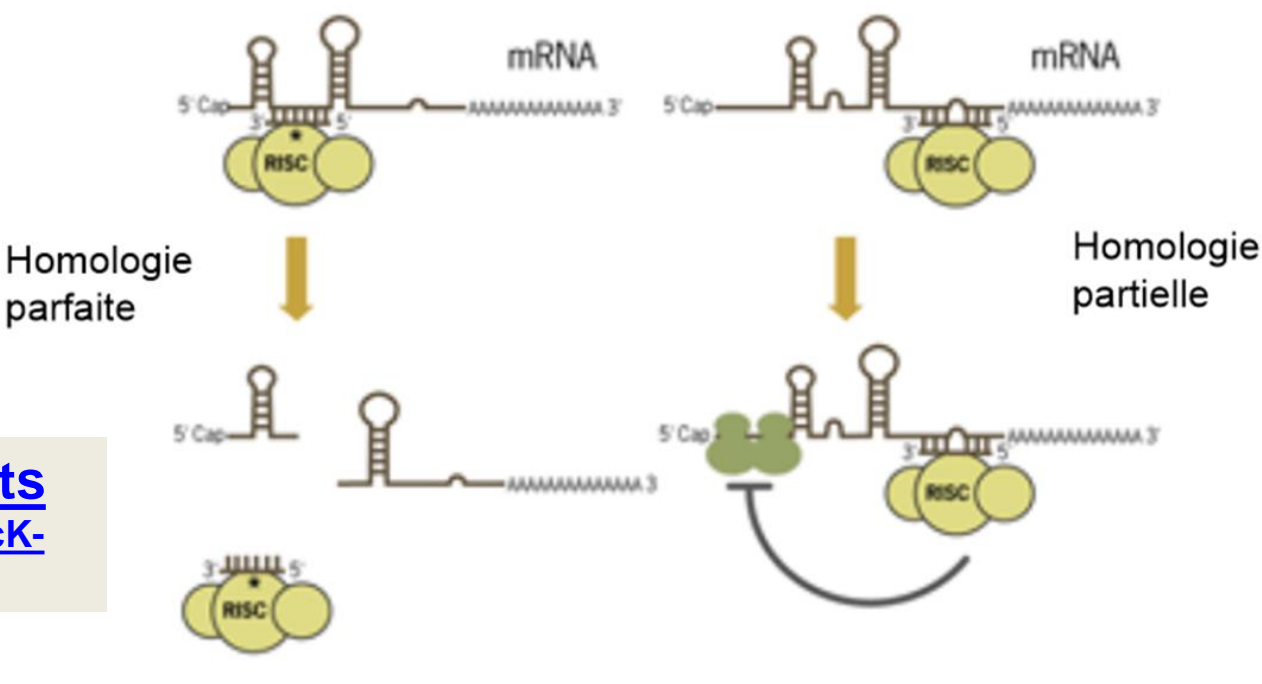
Historique de la découverte

Les mécanismes de contrôle par ARNi

→ Vidéo ARN interférents
https://www.youtube.com/embed/cK-

http://www.upicardie.fr/servlet/com.univ.utils.Lectu reFichierJoint?CODE=12251829785 01&LANGUE=0

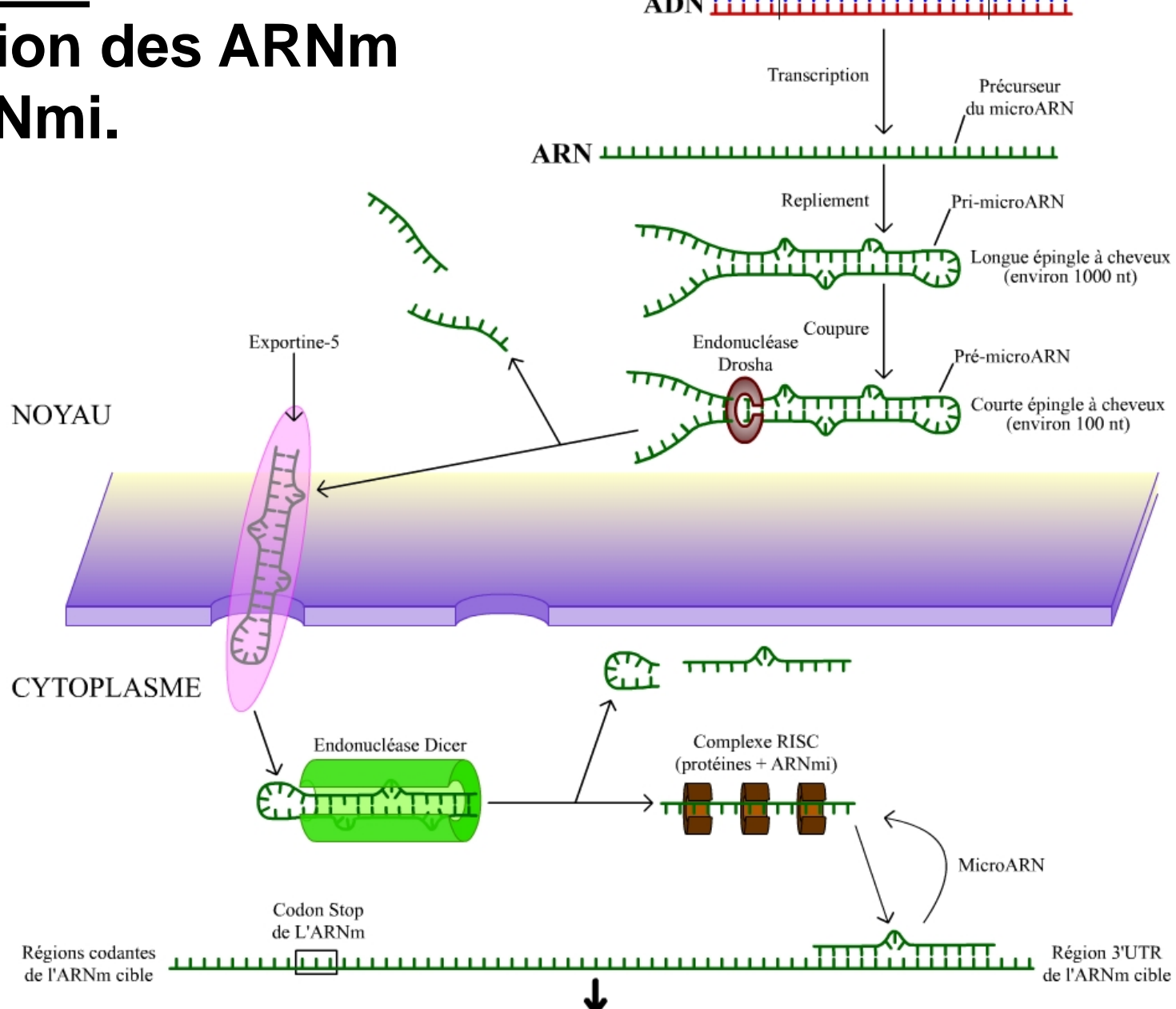
OGB1_ELE?wmode=transparent



Dégradation ARN

Blocage traduction

Document 23. Mécanisme de l'inhibition des ARNm par les ARNmi.



Coupure de la molécule d'ARNm ou inhibition de la traduction

←Gène spécial ARNmi→

http://planetvie.ens.fr/content/p etits-arninterferents